

第10章 Z -变换

本章主要内容

1. 双边Z变换及其收敛域ROC。
2. ROC的特征，各类信号的ROC，零极点图。
3. Z反变换，利用部分分式展开进行反变换。
4. 由零极点图分析系统的特性。
5. 常用信号的Z变换，Z变换的性质。
6. 用Z变换表征LTI系统，系统函数，LTI系统的Z变换分析法，系统的级联与并联型结构。
7. 单边Z变换，增量线性系统的分析。

10.0 引言 (Introduction)

Z 变换与拉氏变换相对应，是离散时间傅立叶变换的推广。Z 变换的基本思想、许多性质及其分析方法都与拉氏变换有相似之处。当然，Z 变换与拉氏变换也存在着一些重要的差异。

由离散时间Fourier变换到 z 变换

$x[k]=2^k u[k]$ 的离散时间Fourier变换(DTFT)? 不存在!

将 $x[k]$ 乘以衰减因子 r^{-k}

$$\text{DTFT}\{2^k u[k] r^{-k}\} = \sum_{k=0}^{\infty} 2^k r^{-k} e^{-j\Omega k} = \sum_{k=0}^{\infty} 2^k (re^{j\Omega})^{-k}$$

$$\text{令 } z = re^{j\Omega} \quad = \sum_{k=0}^{\infty} 2^k z^{-k}$$

若 $|z| > 2$

$$= \frac{1}{1 - 2z^{-1}}$$

推广到一般情况

$$\text{DTFT}\{x[k]r^{-k}\} = \sum_{k=-\infty}^{\infty} x[k]r^{-k}e^{-j\Omega k}$$
$$\underline{\underline{z=re^{j\Omega}}} \quad \sum_{k=-\infty}^{\infty} x[k]z^{-k} = X(z)$$

❁ 物理意义：
离散信号可分解为不同频率复指数 z^k 的线性组合

10.1 双边 Z 变换 The z-Transform

一.双边Z变换的定义:

$$X(z) = \sum_{n=-\infty}^{\infty} x(n)z^{-n} \quad \text{其中 } z = re^{j\omega} \text{ 是一个复数。}$$

当 $r = 1$ 时, $z = e^{j\omega}$ 即为离散时间傅立叶变换。

这表明：DTFT就是在单位圆上进行的Z变换。

$$X(re^{j\omega}) = \sum_{n=-\infty}^{\infty} x(n)r^{-n}e^{-j\omega n} = F[x(n)r^{-n}]$$

可见：对 $x(n)$ 做 Z 变换就等于对 $x(n)r^{-n}$ 做DTFT。

因此，Z 变换是对DTFT的推广。

二. Z变换的收敛域 (ROC) :

Z变换与DTFT一样存在着收敛的问题。

1. 并非任何信号的Z变换都存在。

2. 并非Z平面上的任何复数都能使 $X(z)$ 收敛。

Z平面上那些能使 $X(z)$ 收敛的点的集合，就构成了 $X(z)$ 的收敛域 (ROC)。

$x_{(z)}$ 存在或级数收敛的充分条件是

$$\sum_{n=-\infty}^{+\infty} x[n]z^{-n} < \infty$$

例1. $x(n) = a^n u(n)$

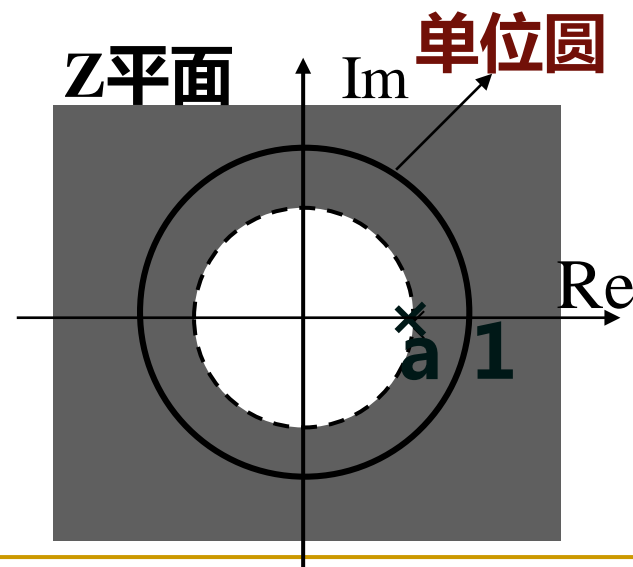
$$X(z) = \sum_{n=-\infty}^{\infty} a^n z^{-n} = \frac{1}{1 - az^{-1}} \quad |z| > |a| \text{ 时收敛}$$

当 $|a| < 1$ 时，ROC包括了单位圆。

此时， $x(n)$ 的DTFT存在。

$$X(e^{j\omega}) = \frac{1}{1 - ae^{-j\omega}} \quad |z| > |a|$$

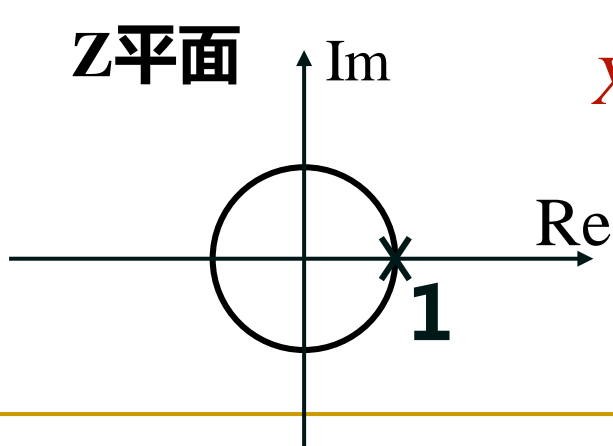
显然有 $X(z)|_{z=e^{j\omega}} = X(e^{j\omega})$



例2. $x(n) = u(n)$

$$X(z) = \sum_{n=0}^{\infty} z^{-n} = \frac{1}{1 - z^{-1}} \quad |z| > 1$$

**此时，ROC不包括单位圆，所以不能简单地从
通过将 $X(z)$ 得到 $z \rightarrow e^{j\omega}$ 。 $X(e^{j\omega})$**



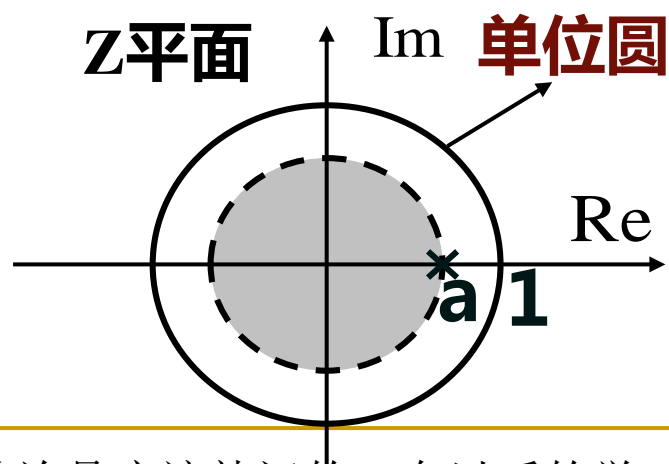
$$X(e^{j\omega}) = \frac{1}{1 - e^{-j\omega}} + \sum_{k=-\infty}^{\infty} \pi \delta(\omega - 2\pi k)$$

(例2的ROC)

例3. $x(n) = -a^n u(-n-1)$

$$X(z) = -\sum_{n=-\infty}^{-1} a^n z^{-n} = -\sum_{n=1}^{\infty} a^{-n} z^n$$

$$= -\frac{a^{-1}z}{1-a^{-1}z} = \frac{1}{1-az^{-1}} \quad \text{ROC: } |z| < |a|$$



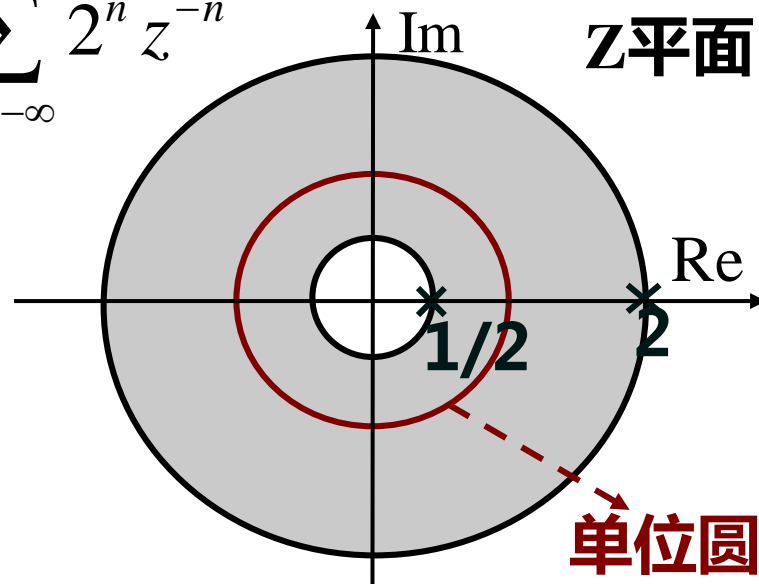
例6.1和例6.3的结论是应该熟记的，在以后的学习将经常用到。

例4. $x(n) = (\frac{1}{2})^n u(n) - 2^n u(-n-1)$

$$X(z) = \sum_{n=0}^{\infty} (\frac{1}{2})^n z^{-n} - \sum_{n=-\infty}^{-1} 2^n z^{-n}$$

$$= \frac{1}{1 - \frac{1}{2}z^{-1}} + \frac{1}{1 - 2z^{-1}}$$

$$\text{ROC: } \frac{1}{2} < |z| < 2$$



**一般情况下， $X(z)$ 的ROC是 Z 平面上一个以
原点为中心的圆环。**

结 论：

- 1) Z变换存在着收敛问题，不是任何信号都存在Z变换，也不是任何复数Z都能使 $X(z)$ 收敛。
- 2) 仅仅由 $X(z)$ 的表达式不能唯一地确定一个信号，只有 $X(z)$ 连同相应的ROC一道，才能与信号 $x(n)$ 建立一一对应的关系。
- 3) Z变换的ROC，一般是Z平面上以原点为中心的环形区域。且ROC内不包含任何极点。

4) 如果 $x(n) = \sum_i x_i(n)$, 则其ROC是各个 $x_i(n)$ 的ROC的公共部分。若没有公共区域则表明 $x(n)$ 的Z变换不存在。

5) 当 $X(z)$ 是有理函数时 , 其ROC的边界总是由 $X(z)$ 的极点所在的圆周界定的。

6) 若 $X(z)$ 的ROC包括单位圆 , 则有

$$X(e^{j\omega}) = X(z) \Big|_{z=e^{j\omega}}$$

三. $X(z)$ 的几何表示——零极点图：

如果 $X(z)$ 是有理函数，将其分子多项式与分母多项式分别因式分解可以得到：

$$X(z) = \frac{N(z)}{D(z)} = M \frac{\prod_i (z - z_i)}{\prod_p (z - z_p)}$$

由其全部的零、极点即可确定出 $X(z)$ ，最多相差一个常数因子 M 。

因此，若在 z 平面上表示出 $X(z)$ 的全部零、极点，即构成 $X(z)$ 的几何表示——零极点图。

如果在零极点图上同时标出ROC，则由该零极点图可以唯一地确定一个信号。

零极点图对描述LTI系统和分析LTI系统的特性，具有重要的用途。

10.2 Z 变换的ROC

The Region of Convergence for the z-Transform

ROC的特征：

1. $X(z)$ 的ROC是Z平面上以原点为中心的环形区域。因为
$$\sum_{n=-\infty}^{+\infty} |x[n]| r^{-n} < \infty$$
2. 在ROC内， $X(z)$ 无极点。
3. 有限长序列的ROC是整个有限Z平面（可能不包括 $z = 0$ ，或 $|z| = \infty$ ）。

由
$$X(z) = \sum_{n=N_1}^{N_2} x(n)z^{-n}$$

- 当 $N_2 > N_1 \geq 0$ 时，在 $X(z)$ 的展开式中，只有 z 的负幂项，故 z 不能为 0，但可以取 ∞ 。
- 当 $0 \geq N_2 > N_1$ 时，在 $X(z)$ 的展开式中，只有 z 的正幂项，故 z 不能为 ∞ ，但可以取 0。
- 当 $N_2 > 0, N_1 < 0$ 时，在 $X(z)$ 的展开式中，既有 z 的正幂项，也有负幂项，故 z 既不能为 ∞ 也不能取 0。

4. 右边序列的ROC是某个圆的外部，但可能不包括 $|z| = \infty$ 。

设 $x(n)$ 是右边序列，

由 $x(n)$, $N_1 < n < \infty$ 有 $X(z) = \sum_{n=N_1}^{\infty} x(n)z^{-n}$

若 $|z| = r_0 \in \text{ROC}$ 则 $\sum_{n=N_1}^{\infty} |x(n)r_0^{-n}| < \infty$

如果 $r_1 > r_0$, 则

$$\sum_{n=N_1}^{\infty} |x(n)r_1^{-n}| = \sum_{n=N_1}^{\infty} |x(n)r_0^{-n}| \cdot \left(\frac{r_0}{r_1}\right)^n$$

$$\leq \sum_{n=N_1}^{\infty} \left| x(n)r_0^{-n} \right| \cdot \left(\frac{r_0}{r_1} \right)^{N_1} < \infty \quad \therefore |z| = r_1 \in \text{ROC}$$

当 $N_1 < 0$ 时, 由于 $X(z)$ 展开式中有若干个 z 的正幂项, 此时 $|z|$ 不能为 ∞ 。

5. 左边序列的 ROC 是某个圆的内部, 但可能不包括 $z = 0$ 。

若 $r_0 \in \text{ROC}$, $r_1 < r_0$, 则

$$\sum_{n=-\infty}^{N_1} \left| x(n)r_1^{-n} \right| = \sum_{n=-\infty}^{N_1} \left| x(n)r_0^{-n} \right| \cdot \left(\frac{r_0}{r_1} \right)^n$$

$$\leq \sum_{n=-\infty}^{N_1} \left| x(n) r_0^{-n} \right| \cdot \left(\frac{r_0}{r_1} \right)^{N_1} < \infty \quad \therefore r_1 \in \text{ROC}$$

当 $N_1 > 0$ 时，由于 $X(z)$ 的展开式中包括有 z 的负幂项，所以 z 不能为零。

6. 双边序列的 z 变换如果存在，则 ROC 必是一个环形区域。

例1. $x(n) = \begin{cases} a^n, & 0 \leq n \leq N-1, & a > 0 \\ 0, & \text{其他 } n \end{cases}$

$$X(z) = \sum_{n=0}^{N-1} a^n z^{-n} = \frac{1 - a^N z^{-N}}{1 - a z^{-1}} = \frac{z^N - a^N}{z^{N-1}(z - a)}$$

极点： $z = a$ (一阶)

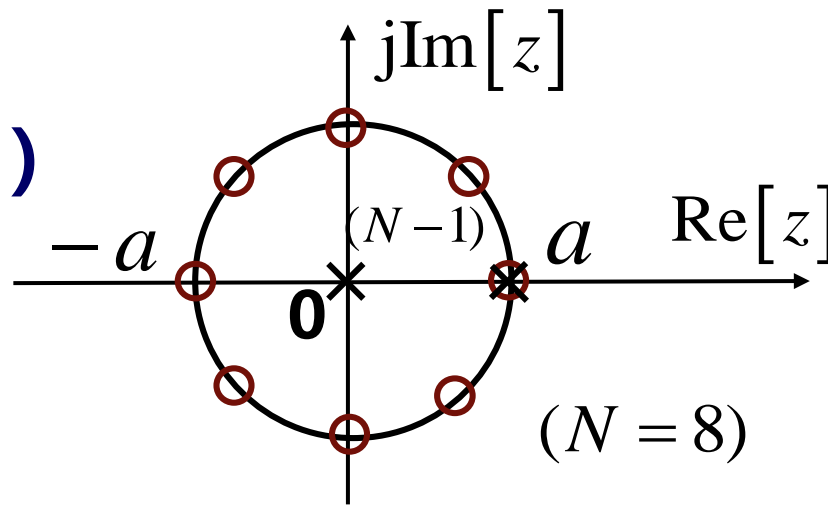
$z = 0$ (N - 1阶)

零点： $z = a e^{j\frac{2\pi}{N}k}$

($k = 0, 1 \dots N-1$)

在 $z = a$ 处，零极点抵消，使有限 Z 平面内

无极点。 ROC: $|z| > 0$

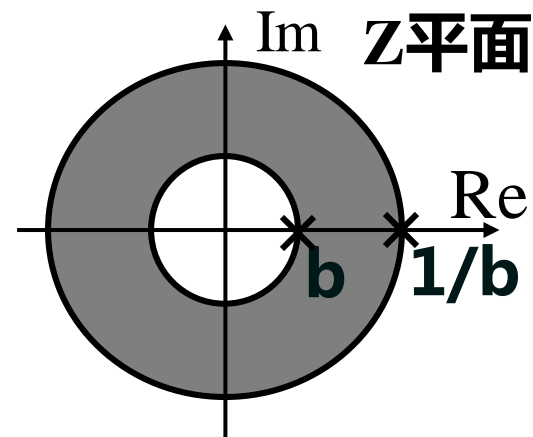


例2. $x(n) = b^{|n|}$, $b > 0$

$$x(n) = b^n u(n) + b^{-n} u(-n-1)$$

$$b^n u(n) \leftrightarrow \frac{1}{1 - bz^{-1}}, \quad |z| > b$$

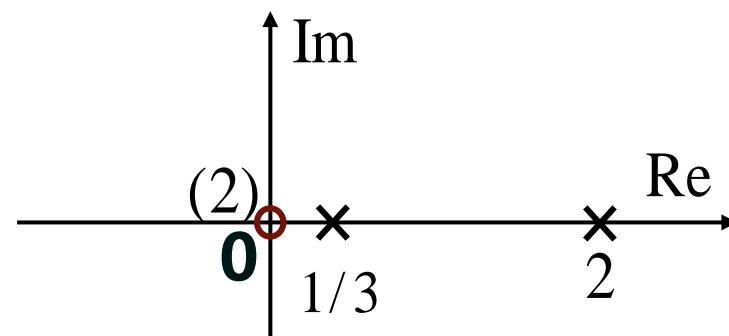
$$b^{-n} u(-n-1) \leftrightarrow -\frac{1}{1 - b^{-1}z^{-1}}, \quad |z| < b^{-1}$$



**在 $b > 1$ 时，两部分的收敛域无公共部分，
表明此时 $X(z)$ 不存在。**

$0 < b < 1$ 时，ROC为 $b < |z| < 1/b$

例3. $X(z) = \frac{1}{(1 - \frac{1}{3}z^{-1})(1 - 2z^{-1})}$



极点： $z_1 = \frac{1}{3}, \quad z_2 = 2$

零点： $z = 0$ (二阶)

} **在有限Z平面上极点
总数与零点总数相同**

若其ROC为：

- ① $|z| > 2$ 则 $x(n)$ 为右边序列，且是因果的，
但其傅立叶变换不存在。

② $|z| < \frac{1}{3}$ 时 $x(n)$ 是左边序列，且是反因果的，其傅立叶变换不存在。

③ $\frac{1}{3} < |z| < 2$ 时 $x(n)$ 是双边序列，其傅立叶变换存在。

ROC是否包括 $|z| = \infty$ ，是 $x(n)$ 是否因果的标志。

ROC是否包括 $z = 0$ ，是 $x(n)$ 是否反因果的标志。

10.3 Z-反变换

The Inverse Z-Transform

一.Z-反变换：

$$\because X(re^{j\omega}) = \sum_{n=-\infty}^{\infty} x(n)r^{-n}e^{-j\omega n}$$

$$\therefore x(n)r^{-n} = \frac{1}{2\pi} \int_{2\pi} X(re^{j\omega})e^{j\omega n} d\omega$$

$$x(n) = \frac{1}{2\pi} \int_{2\pi} X(re^{j\omega})r^n e^{j\omega n} d\omega$$

令 $z = re^{j\omega}$, 则 $dz = jre^{j\omega} d\omega = jz d\omega$

当 ω 从 $0 \rightarrow 2\pi$ 时, z 沿着 ROC 内半径为 r 的圆变化一周。

$$x[n] = \frac{1}{2\pi j} \oint X(z) z^{n-1} dz$$

其中 C 是 ROC 中逆时针方向的圆周。

二. 反变换的求取：

1. 部分分式展开法：

当 $X(z)$ 是有理函数时，可将其展开为部分分式

$$X(z) = \sum_i \frac{A_i}{1 - a_i z^{-1}}$$

- 步骤：**
1. 求出 $X(z)$ 的所有极点 a_i ；
 2. 将 $X(z)$ 展开为部分分式；
 3. 根据总的ROC，确定每一项的ROC；
 4. 利用常用变换对和Z变换性质求出每一项的反变换。

例： $X(z) = \frac{3 - \frac{5}{6}z^{-1}}{(1 - \frac{1}{4}z^{-1})(1 - \frac{1}{3}z^{-1})} \quad \frac{1}{4} < |z| < \frac{1}{3}$

将 $X(z)$ 展开为部分分式有：

$$X(z) = \frac{1}{1 - \frac{1}{4}z^{-1}} + \frac{2}{1 - \frac{1}{3}z^{-1}}$$

$$\text{ROC}_1 : |z| > 1/4$$

$$\text{ROC}_2 : |z| < 1/3$$

$$\text{ROC}_1 \quad \text{ROC}_2$$

$$\therefore x(n) = \left(\frac{1}{4}\right)^n u(n) - 2\left(\frac{1}{3}\right)^n u(-n-1)$$

2. 幂级数展开法: (长除法)

由 $X(z)$ 的定义, 将其展开为幂级数, 有

$$X(z) = \cdots + x(-n)z^n + \cdots + x(-1)z + \\ x(0) + x(1)z^{-1} + x(2)z^{-2} + \cdots + x(n)z^{-n} + \cdots$$

展开式中 z^{-n} 项的系数即为 $x(n)$ 。当 $X(z)$ 是有理函数时, 可以通过长除的方法将其展开为幂级数。

✧ 由于右边序列的展开式中应包含无数多个 z 的负幂项, 所以要按降幂长除。

❖ 由于**左边序列**的展开式中应包含无数多个 z 的正幂项，所以要**按升幂长除**。

❖ 对**双边序列**，先要将其分成对应信号的右边和左边的两部分，再分别按上述原则长除。

例如： $X(z) = 1 + 2z^{-1} - 4z^{-3}$ ， 可得

$$x[n] = \begin{cases} 1, & n = 0 \\ 2, & n = 1 \\ -4, & n = 3 \\ 0, & n = \text{其它} \end{cases}$$

例： $X(z) = \frac{3 - \frac{5}{6}z^{-1}}{(1 - \frac{1}{4}z^{-1})(1 - \frac{1}{3}z^{-1})}$

$$\frac{1}{4} < |z| < \frac{1}{3}$$

$$X(z) = \frac{1}{1 - \frac{1}{4}z^{-1}} + \frac{2}{1 - \frac{1}{3}z^{-1}}$$

$$\text{ROC}_1 : |z| > 1/4$$

$$\text{ROC}_2 : |z| < 1/3$$

$$\text{ROC}_1 \quad \text{ROC}_2$$

所以前一项按降幂长除，后一项按升幂长除。

幂级数展开法的缺点是当 $X(z)$ 较复杂（含多个极点时）难以得出 $x(n)$ 的闭式。

幂级数展开法适合用来求解非有理函数形式 $X(z)$ 的反变换。

例 10.13 考虑一个 z 变换 $X(z)$ 为

$$X(z) = \frac{1}{1 - az^{-1}}, \quad |z| > |a|$$

该式可用长除法将其展开成幂级数

$$\begin{array}{r} 1 + az^{-1} + a^2z^{-2} + \cdots \\ 1 - az^{-1} \overline{) 1} \\ \underline{1 - az^{-1}} \\ az^{-1} - a^2z^{-2} \\ \underline{az^{-1} - a^2z^{-2}} \\ a^2z^{-2} \end{array}$$

或者写为

$$\frac{1}{1 - az^{-1}} = 1 + az^{-1} + a^2z^{-2} + \cdots \quad (10.58)$$

因为 $|z| > |a|$, 或 $|az^{-1}| < 1$, 所以式(10.58)的级数收敛。将该式与式(10.3)的 z 变换定义进行比较可见: $n < 0$ 时 $x[n] = 0$, $x[0] = 1$, $x[1] = a$, $x[2] = a^2$, \cdots , $x[n] = a^n u[n]$, 这个结果与例 10.1 是一致的。

如果 $X(z)$ 的收敛域是 $|z| < |a|$, 或者等效为 $|az^{-1}| > 1$, 那么式(10.58)中 $1/(1 - az^{-1})$ 的幂级数展开式就不收敛。然而, 再利用一次长除法可以得到一个收敛的幂级数为

$$\begin{array}{r} -a^{-1}z - a^{-2}z^2 - \cdots \\ -az^{-1} + 1 \overline{) 1} \\ \underline{1 - a^{-1}z} \\ a^{-1}z \end{array}$$

或者

$$\frac{1}{1 - az^{-1}} = -a^{-1}z - a^{-2}z^2 - \cdots \quad (10.59)$$

在这种情况下, $n \geq 0$ 时 $x[n] = 0$, $x[-1] = -a^{-1}$, $x[-2] = -a^{-2}$, \cdots , 即 $x[n] = -a^n u[-n-1]$ 。这个结果与例 10.2 是一致的。

例 10.14 考虑如下 z 变换 $X(z)$

$$X(z) = \log(1 + az^{-1}), \quad |z| > |a| \quad (10.60)$$

由于 $|z| > |a|$, 或等效为 $|az^{-1}| < 1$, 可将式(10.60)展开为泰勒级数

$$\log(1 + v) = \sum_{n=1}^{\infty} \frac{(-1)^{n+1} v^n}{n}, \quad |v| < 1 \quad (10.61)$$

将上式用于式(10.60)就有

$$X(z) = \sum_{n=1}^{\infty} \frac{(-1)^{n+1} a^n z^{-n}}{n} \quad (10.62)$$

据此, 就可确认出

$$x[n] = \begin{cases} (-1)^{n+1} \frac{a^n}{n}, & n \geq 1 \\ 0, & n \leq 0 \end{cases} \quad (10.63)$$

或等效为

$$x[n] = \frac{-(-a)^n}{n} u[n-1]$$

在习题 10.63 中将考虑收敛域为 $|z| < |a|$ 的一个例子。

10.4. 由零极点图对离散时间傅立叶变换几何求值

Geometric Evaluation of the Fourier Transform from the Pole-Zero Plot

当ROC包括 $|z|=1$ 时，Z 变换在单位圆上的情况就是 $X(e^{j\omega})$ ，因此也可以利用零极点图对其进行几何求值。

其方法与拉氏变换时完全类似：

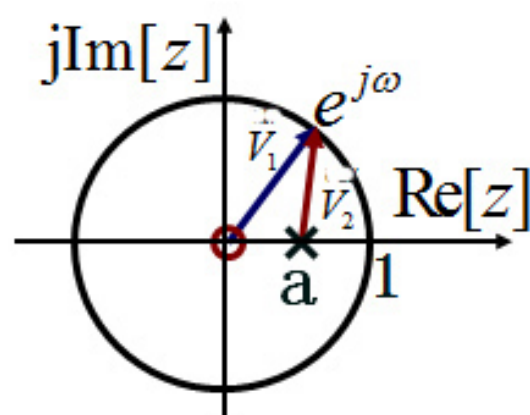
考查动点在单位圆上移动一周时，各极点矢量和零点矢量的长度与幅角变化的情况，即可反映系统的频率特性。

例1. 一阶系统 $y(n) - ay(n-1) = x(n)$

$$h(n) = a^n u(n) \quad H(z) = \frac{1}{1 - az^{-1}}, \quad |z| > a$$

当 $|a| < 1$ 时，ROC包括单位圆。

$$H(e^{j\omega}) = \frac{1}{1 - ae^{-j\omega}}$$



$$|H(e^{j\omega})| = |V_1| / |V_2|$$

显然, $|V_1| = 1$, $|H(e^{j\omega})|$ 取决于 $|V_2|$ 的变化。

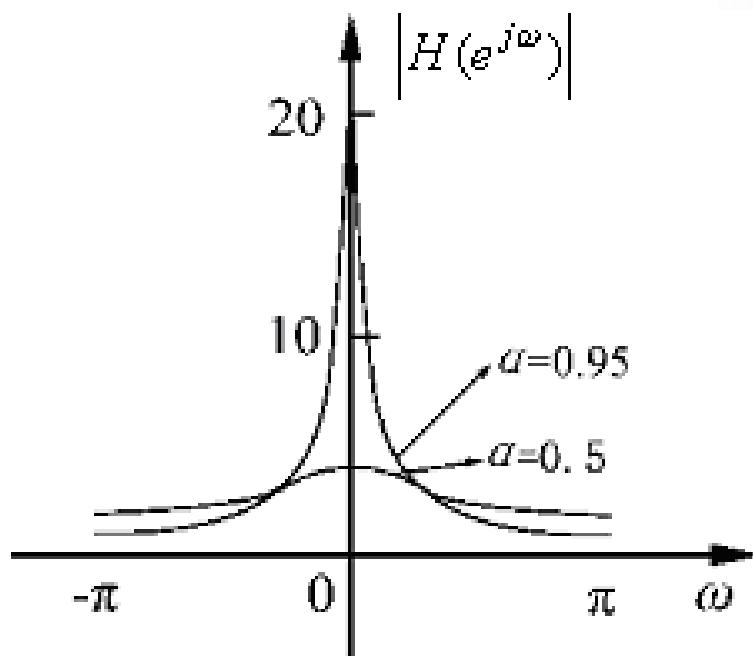
❖ 当 $0 < a < 1$ 时,

在 $\omega = 0$ 处, $|H(e^{j\omega})|$ 有最大值。

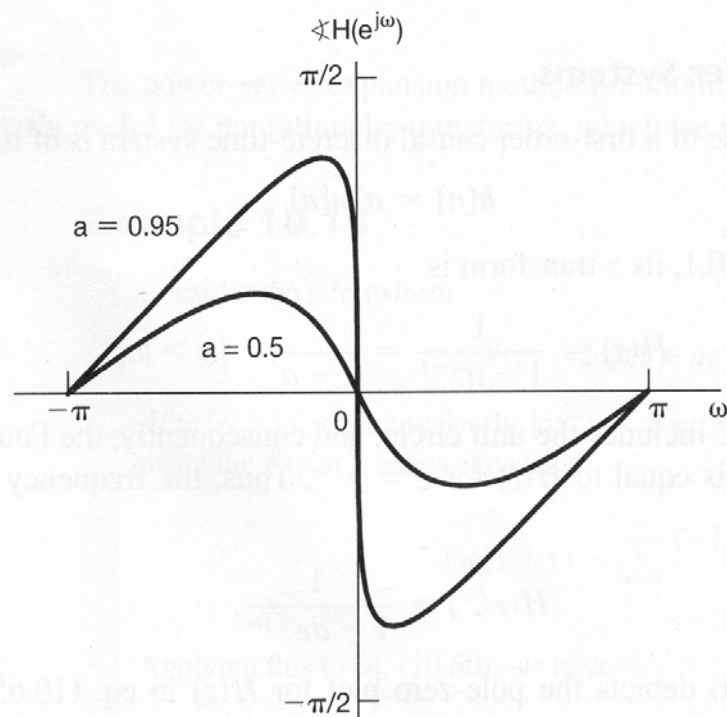
当 $\omega = \pi$ 时, $|H(e^{j\omega})|$ 有最小值。

$|H(e^{j\omega})|$ 随 ω 呈单调变化。

一阶系统的频率特性： $0 < a < 1$

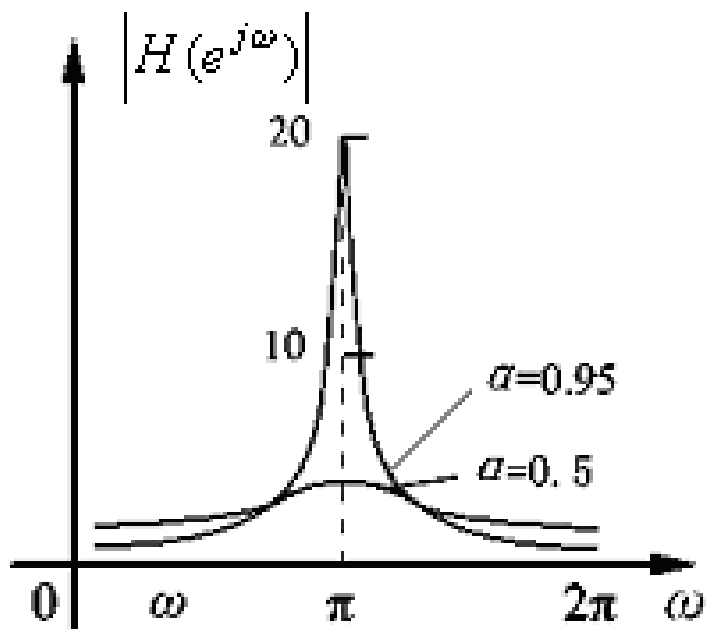


幅频特性

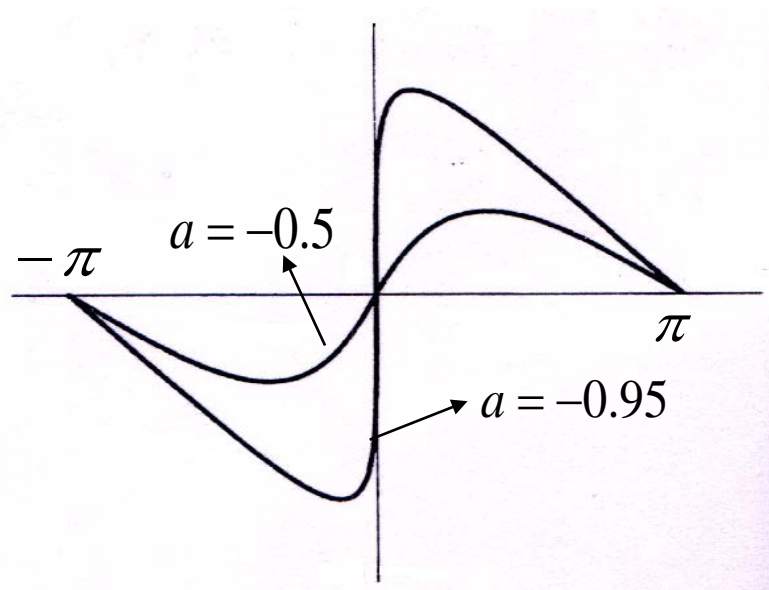
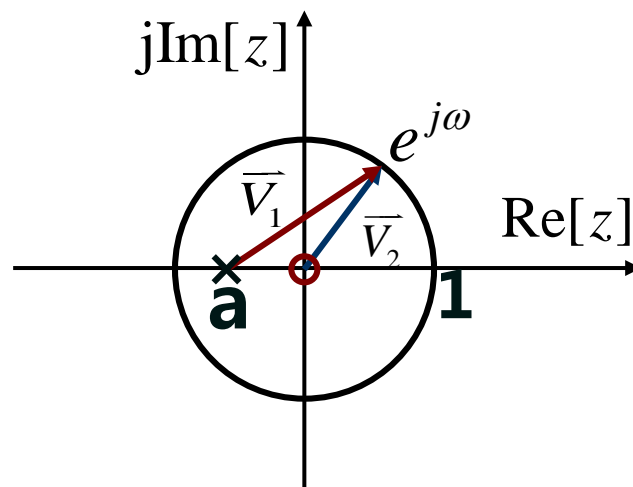


相频特性

❖ 当 $-1 < a < 0$ 时,



幅频特性



相频特性

可以看出：

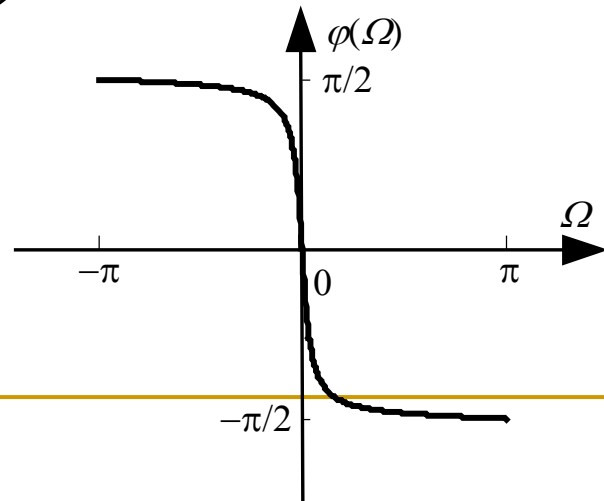
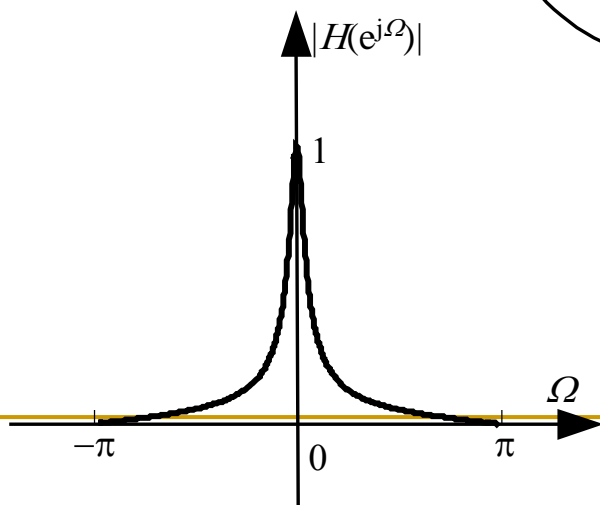
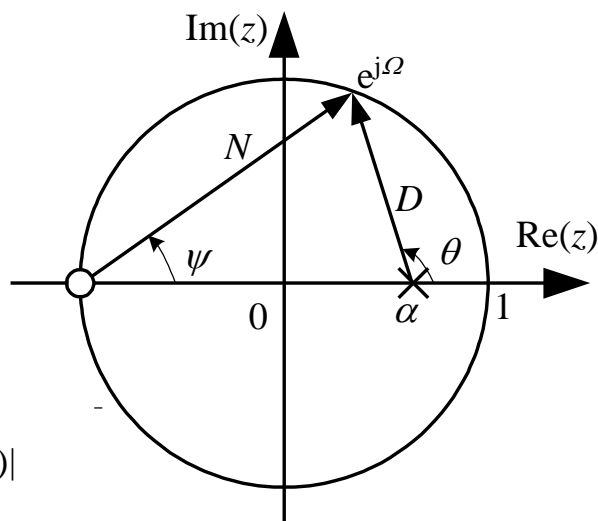
- $|a|$ 越小，极点靠原点越近，系统的频率响应越平缓，系统的带宽越宽；此时 $h(n)$ 衰减越快， $s(n)$ 上升越快。
- $|a|$ 越大，极点靠单位圆越近，系统频响越尖锐，频响的极大值越大，系统带宽越窄，相位的非线性程度越厉害。

例： 已知某因果离散LTI系统的系统函数

$$H(z) = \frac{(1-\alpha)}{2} \frac{1+z^{-1}}{1-\alpha z^{-1}}, |\alpha| < 1$$

试用向量法定性画出该系统的幅度响应和相位响应。

解：



例2. 二阶系统：

$$y(n) - 2r \cos \theta y(n-1) + r^2 y(n-2) = x(n)$$

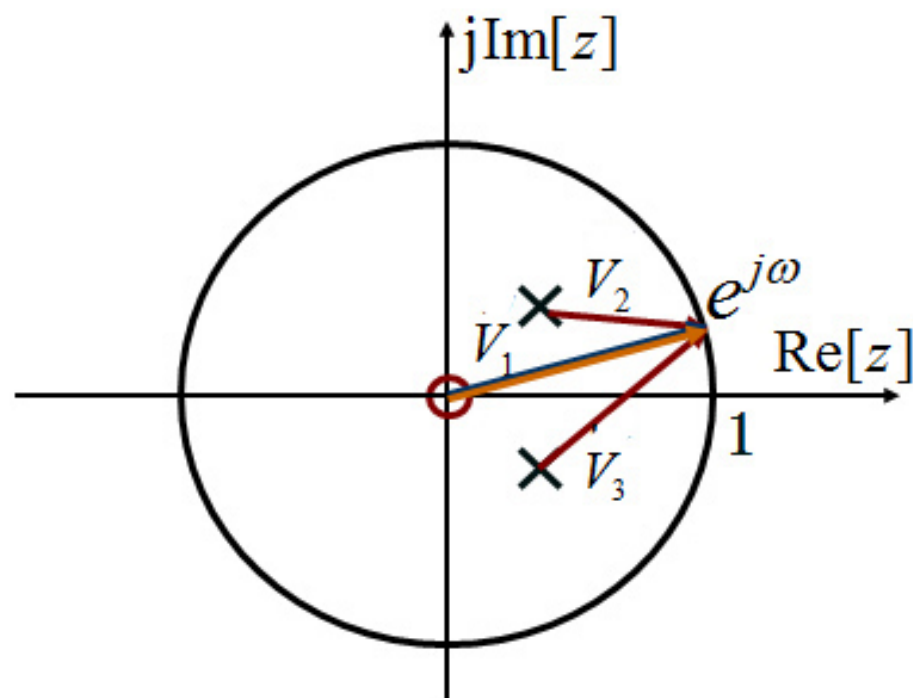
$$0 < r < 1, \quad 0 \leq \theta \leq \pi$$

$$h(n) = r^n \frac{\sin(n+1)\theta}{\sin \theta} u(n)$$

$$H(z) = \frac{1}{1 - 2r \cos \theta z^{-1} + r^2 z^{-2}}$$

极点： $z_{1,2} = re^{\pm j\theta}$

零点： $z = 0$ （二阶）



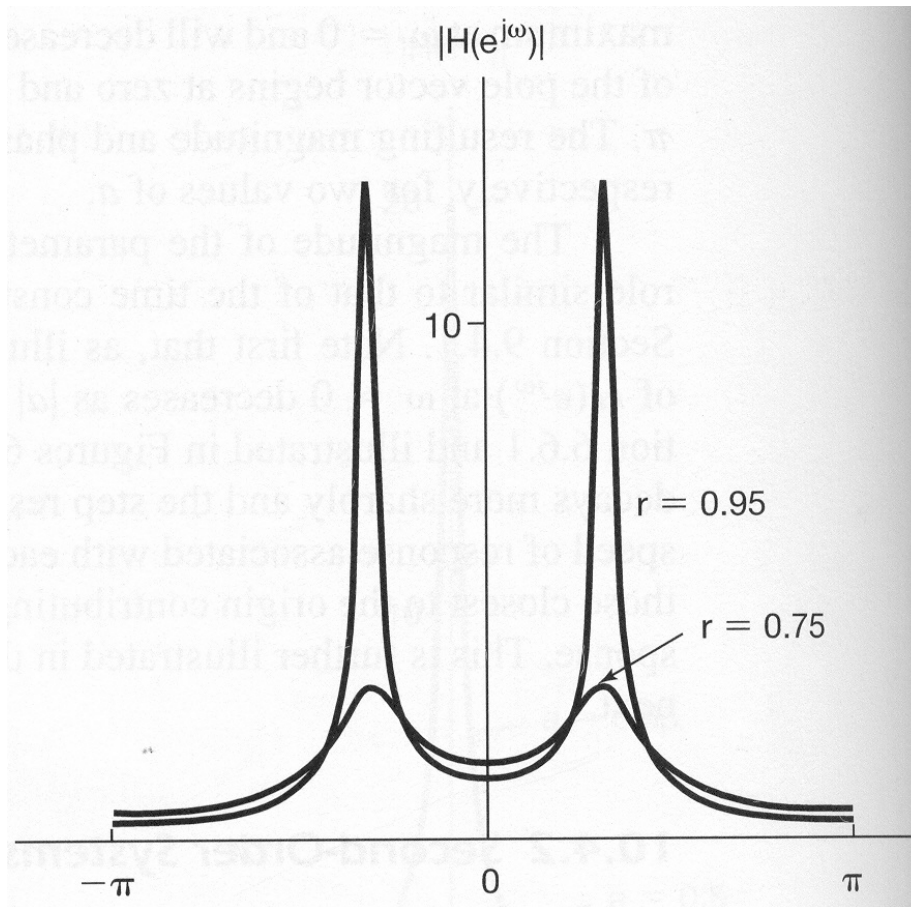
考查动点在单位圆上移动一周时，各极点矢量和零点矢量的长度与幅角的变化情况，即可得到二阶系统的频率特性。

当 ω 从 $0 \rightarrow \pi$ 时，在靠近 $\omega = \pm\theta$ 处频率响应会出现极大值。

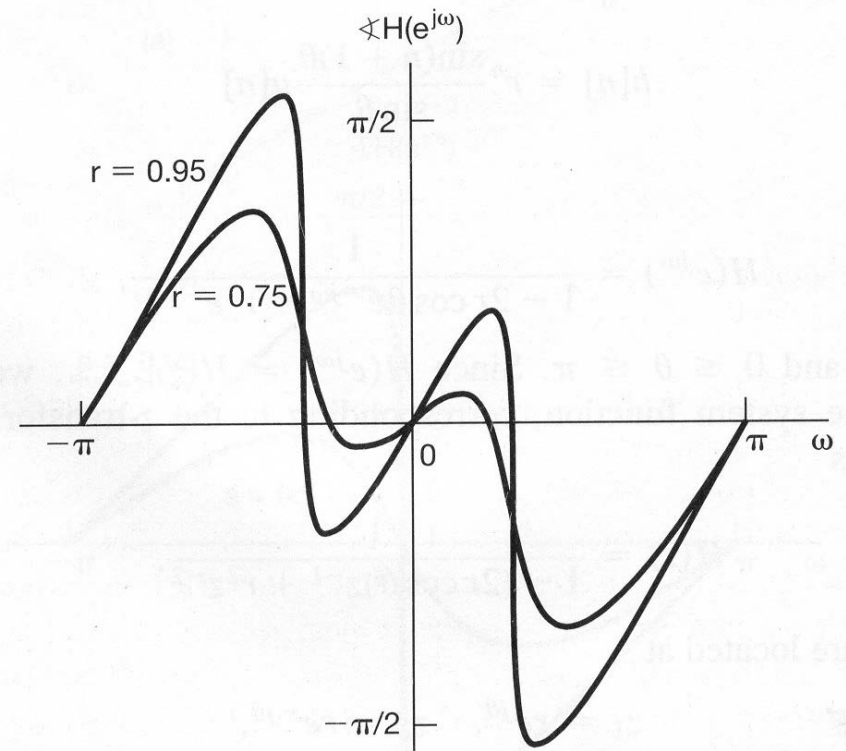
若 r 越接近于 1， $|H(e^{j\omega})|$ 的峰值越尖锐。由于极点远离原点， $h(n)$ 和 $s(n)$ 的变化速率越慢。

随着 r 减小，极点逐步靠近原点，频率响应趋于平坦，而 $h(n)$ 和 $s(n)$ 的变化速率会加快。

二阶系统的频率特性： $0 < r < 1, 0 \leq \theta \leq \pi$



幅频特性



相频特性

10.5 Z变换的性质

Properties of the Z-transform

Z变换的许多性质与DTFT的性质相似，其推论方法也相同。这里主要讨论其ROC的变化。

1. 线性：

$$x_1(n) \leftrightarrow X_1(z) \quad \text{ROC: } R_1$$

$$x_2(n) \leftrightarrow X_2(z) \quad \text{ROC: } R_2$$

则 $ax_1(n) + bx_2(n) \leftrightarrow aX_1(z) + bX_2(z)$

ROC：包括 $R_1 \cap R_2$

❖ 如果在线性组合过程中出现零极点相抵消，
则ROC可能会扩大。

2. 时移(右移)：

若 $x(n) \leftrightarrow X(z)$ ROC: R

则 $x(n - n_0) \leftrightarrow X(z)z^{-n_0}$

ROC: R 但在 $z = 0$ 和 $|z| = \infty$ 可能会有增删。

❖ 由于信号时移可能会改变其因果性，故会使ROC 在 $z = 0$, $|z| = \infty$ 有可能改变。

3. Z域尺度变换：

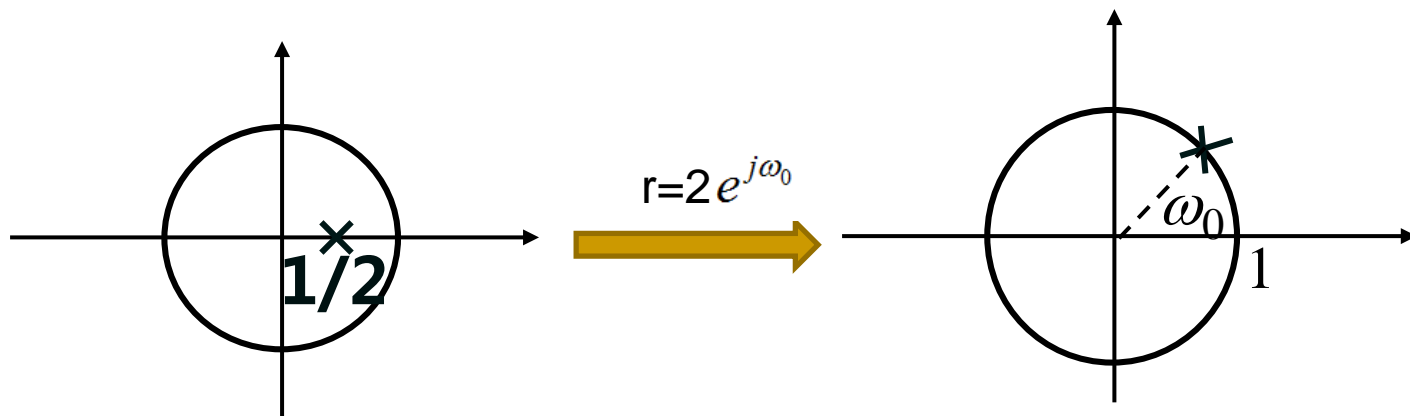
若 $x(n) \leftrightarrow X(z)$ ROC: R

则 $z_0^n x(n) \leftrightarrow X(z/z_0)$ ROC: $|z_0|R$

$\therefore |z| \in R$ **时** $X(z)$ **收敛，故** $|z/z_0| \in R$ **时，** $X(z/z_0)$ **收敛。**

$\therefore |z| \in |z_0|R$ **当** $z_0 = e^{j\omega_0}$ **时，即为移频特性。**

若 z_0 **是一般复数** $z_0 = r_0 e^{j\omega_0}$ **，则** $X(z/z_0)$ **的零极点不仅要**将 $X(z)$ **的零极点逆时针旋转一个角度** ω_0 **，而且在径向有** r_0 **倍的尺度变化。**



4. 时域反转：

若 $x(n) \leftrightarrow X(z)$ ROC: R

则 $x(-n) \leftrightarrow X(z^{-1})$ ROC: $1/R$ (收敛域边界倒置)

❖ 信号在时域反转，会引起 $X(z)$ 的零、极点分布按倒数对称发生改变。

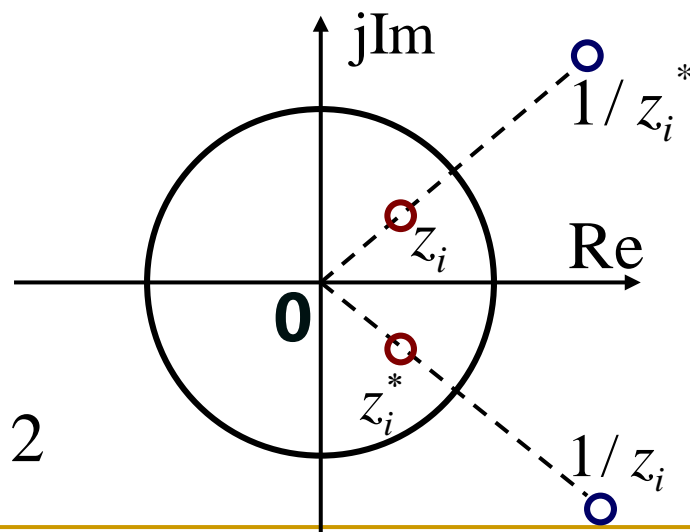
❖ 如果 z_i 是 $X(z)$ 的零/极点, 则 $1/z_i$ 就是 $X(z^{-1})$ 的零/极点。由于 z_i^* 也是 $X(z)$ 的零/极点, 因此 $1/z_i^*$ 也是 $X(z^{-1})$ 的零/极点。

即： $X(z)$ 与 $X(z^{-1})$ 的零极点呈共轭倒数对称。

例：若 $X(z)$ 的ROC为

$$\frac{1}{2} < |z| < \frac{3}{2}$$

则 $X(z^{-1})$ 的ROC为 $\frac{2}{3} < |z| < 2$



5. 时域内插:

若 $x(n) \leftrightarrow X(z)$ ROC: R

$$x_k(n) = \begin{cases} x(n/k) & n \text{ 为 } k \text{ 的整数倍} \\ 0 & \text{其它 } n \end{cases}$$

则 $x_k(n) \leftrightarrow X(z^k)$ ROC: $R^{1/k}$

证明:

$$X_k(z) = \sum_{n=-\infty}^{\infty} x_{k(n)} z^{-n} = \sum_{r=-\infty}^{\infty} x(r) z^{-rk} = X(z^k)$$

6. 共轭对称性：

若 $x(n) \leftrightarrow X(z)$ ROC: R

则 $x^*(n) \leftrightarrow X^*(z^*)$ ROC: R

❖当 $x(n)$ 是实信号时, $x^*(n) = x(n)$, 于是有

$$X(z) = X^*(z^*)$$

表明如果 $X(z)$ 有复数零极点, 必共轭成对出现。

7. 卷积性质：

$$\text{若 } x_1(n) \leftrightarrow X_1(z) \quad \text{ROC} : R_1$$

$$x_2(n) \leftrightarrow X_2(z) \quad \text{ROC} : R_2$$

$$\text{则 } x_1(n) * x_2(n) \leftrightarrow X_1(z)X_2(z) \quad \text{ROC 包括 } R_1 \cap R_2$$

如果在相乘时出现零极点抵消的情况则ROC可能会扩大。

$$\begin{aligned} x_1(n) * x_2(n) &\leftrightarrow \sum_{n=-\infty}^{\infty} \sum_{m=-\infty}^{\infty} x_1(m)x_2(n-m)z^{-n} \\ &= \sum_{m=-\infty}^{\infty} x_1(m)X_2(z)z^{-m} = X_1(z)X_2(z) \end{aligned}$$

该性质是LTI系统Z变换分析法的理论基础。

8. Z域微分：

$$\text{若 } x(n) \leftrightarrow X(z) \quad \text{ROC} : R$$

$$\text{则 } nx(n) \leftrightarrow -z \frac{dX(z)}{dz} \quad \text{ROC} : R$$

利用该性质可以方便地求出某些非有理函数 $X(z)$ 的反变换，或具有高阶极点的 $X(z)$ 的反变换。

例1. $X(z) = \ln(1 + az^{-1}) \quad |z| > |a|$

$$\therefore \frac{dX(z)}{dz} = \frac{-az^{-2}}{1 + az^{-1}}$$

$$-z \frac{dX(z)}{dz} = \frac{az^{-1}}{1 + az^{-1}} \leftrightarrow a(-a)^{n-1}u(n-1) = nx(n)$$

$$\therefore x(n) = \frac{a}{n}(-a)^{n-1}u(n-1) = -\frac{1}{n}(-a)^n u(n-1)$$

例2 : $X(z) = \frac{az^{-1}}{(1-az^{-1})^2} \quad |z| > |a|$

$$\because a^n u(n) \leftrightarrow \frac{1}{1-az^{-1}} \quad |z| > |a|$$

$$\frac{d}{dz} \left(\frac{1}{1-az^{-1}} \right) = - \frac{az^{-2}}{(1-az^{-1})^2}$$

$$-z \frac{dX(z)}{dz} = \frac{az^{-1}}{(1-az^{-1})^2} \quad \therefore x(n) = na^n u(n)$$

9. 初值定理：

若 $x(n)$ 是因果信号，且 $x(n) \leftrightarrow X(z)$

则 $x(0) = \lim_{z \rightarrow \infty} X(z)$

证明：将 $X(z)$ 按定义式展开有：

$$X(z) = x(0) + x(1)z^{-1} + x(2)z^{-2} + \cdots + x(n)z^{-n} + \cdots$$

显然当 $z \longrightarrow \infty$ 时有 $\lim_{z \rightarrow \infty} X(z) = x(0)$

10. 终值定理：

若 $x(n)$ 是因果信号，且 $x(n) \leftrightarrow X(z)$ ， $X(z)$ 除了在 $z=1$ 可以有一阶极点外，其它极点均在单位圆内，则 $\lim_{n \rightarrow \infty} x(n) = \lim_{z \rightarrow 1} (z-1)X(z)$

证明：

$\because x(n) = 0, n < 0$ ， $X(z)$ 除了在 $z=1$ 可以有单阶极点外，其它极点均在单位圆内，

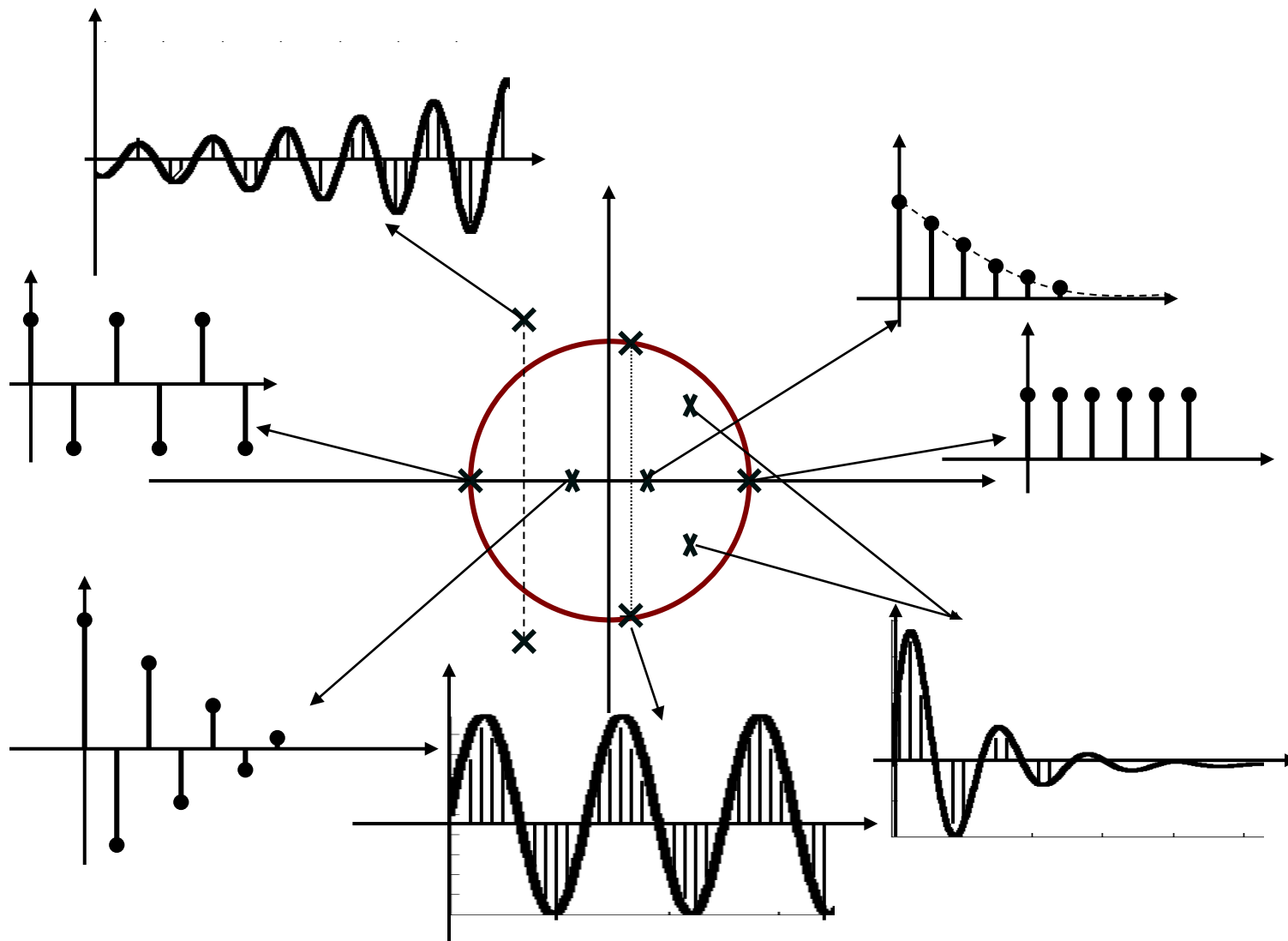
$\therefore (z-1)X(z)$ 在单位圆上无极点

$$\lim_{z \rightarrow 1} (z-1)X(z) = \lim_{z \rightarrow 1} \sum_{n=-1}^{\infty} [x(n+1) - x(n)]z^{-n}$$

$$= \lim_{m \rightarrow \infty} \sum_{n=-1}^m [x(n+1) - x(n)]$$

$$= \lim_{m \rightarrow \infty} [x(0) - x(-1) + \textcolor{red}{x(1)} - \textcolor{red}{x(0)} + \cdots + \textcolor{blue}{x(m+1)} - \textcolor{blue}{x(m)}]$$

$$= \lim_{m \rightarrow \infty} x(m+1) = \lim_{n \rightarrow \infty} x(n)$$



信号的极点的位置与信号终值之间关系示意图

10.6 常用信号的Z变换对

Some Common Z-Transform Pairs

信号	变换	ROC
$\delta[n]$	1	全部z
$u[n]$	$\frac{1}{1-z^{-1}}$	$ z > 1$
$-u[-n-1]$	$\frac{1}{1-z^{-1}}$	$ z < 1$

$\delta[n-m]$	z^{-m}	全部z, 除去0 (若 $m > 0$) 或 ∞ (若 $m < 0$)
$\alpha^n u[n]$	$\frac{1}{1-\alpha z^{-1}}$	$ z > \alpha $
$-\alpha^n u[-n-1]$	$\frac{1}{1-\alpha z^{-1}}$	$ z < \alpha $
$n\alpha^n u[n]$	$\frac{\alpha z^{-1}}{(1-\alpha z^{-1})^2}$	$ z > \alpha $
$-n\alpha^n u[-n-1]$	$\frac{\alpha z^{-1}}{(1-\alpha z^{-1})^2}$	$ z < \alpha $
$[\cos \omega_0 n] u[n]$	$\frac{1 - [\cos \omega_0] z^{-1}}{1 - [2 \cos \omega_0] z^{-1} + z^{-2}}$	$ z > 1$
$[\sin \omega_0 n] u[n]$	$\frac{[\sin \omega_0] z^{-1}}{1 - [2 \cos \omega_0] z^{-1} + z^{-2}}$	$ z > 1$
$[r^n \cos \omega_0 n] u[n]$	$\frac{1 - [r \cos \omega_0] z^{-1}}{1 - [2r \cos \omega_0] z^{-1} + r^2 z^{-2}}$	$ z > r$
$[r^n \sin \omega_0 n] u[n]$	$\frac{[r \sin \omega_0] z^{-1}}{1 - [2r \cos \omega_0] z^{-1} + r^2 z^{-2}}$	$ z > r$

基本连续时间傅里叶变换对

信号	变换	信号	变换
$x(t) = 1$	$2\pi\delta(\omega)$	$\delta(t - t_0)$	$e^{-j\omega t_0}$
$x(t) = \begin{cases} 1, & t < T_1 \\ 0, & t > T_1 \end{cases}$	$\frac{2 \sin \omega T_1}{\omega}$	$e^{-\alpha t} u(t), \operatorname{Re}\{\alpha\} > 0$	$\frac{1}{\alpha + j\omega}$
$\frac{\sin Wt}{\pi t}$	$\begin{cases} 1, & \omega < W \\ 0, & \omega > W \end{cases}$	$te^{-\alpha t} u(t), \operatorname{Re}\{\alpha\} > 0$	$\frac{1}{(\alpha + j\omega)^2}$
$u(t)$	$\frac{1}{j\omega} + \pi\delta(\omega)$	$\frac{t^{n-1}}{(n-1)!} e^{-\alpha t} u(t), \operatorname{Re}\{\alpha\} > 0$	$\frac{1}{(\alpha + j\omega)^n}$
$\delta(t)$	1		

基本离散时间傅里叶变换对

信号	变换	信号	变换
$x[n] = 1$	$2\pi \sum_{l=-\infty}^{\infty} \delta(\omega - 2\pi l)$	$\delta[n - n_0]$	$e^{-j\omega n_0}$
$x[n] = \begin{cases} 1, & n < N_1 \\ 0, & n > N_1 \end{cases}$	$\frac{\sin \omega(N_1 + 1/2)}{\sin(\omega/2)}$	$a^n u[n], a < 1$	$\frac{1}{1 - ae^{-j\omega}}$
$\frac{\sin Wn}{\pi n}, 0 < W < \pi$	$\begin{cases} 1, & \omega < W \\ 0, & W < \omega < \pi \end{cases}$, 周期为 2π	$(n+1)a^n u[n], a < 1$	$\frac{1}{(1 - ae^{-j\omega})^2}$
$u[n]$	$\frac{1}{1 - e^{-j\omega}} + \pi \sum_{k=-\infty}^{\infty} \delta(\omega - 2\pi k)$	$\frac{(n+r-1)!}{n!(r-1)!} a^n u[n], a < 1$	$\frac{1}{(1 - ae^{-j\omega})^r}$
$\delta[n]$	1		

基本拉普拉斯变换对

信号	变换	ROC	信号	变换	ROC
$u(t)$	$1/s$	$\text{Re}\{s\} > 0$	$-u(-t)$	$1/s$	$\text{Re}\{s\} < 0$
$\frac{t^{n-1}}{(n-1)!} u(t)$	$\frac{1}{s^n}$	$\text{Re}\{s\} > 0$	$-\frac{t^{n-1}}{(n-1)!} u(-t)$	$\frac{1}{s^n}$	$\text{Re}\{s\} < 0$
$e^{-\alpha t} u(t)$	$\frac{1}{s + \alpha}$	$\text{Re}\{s\} > -\alpha$	$-e^{-\alpha t} u(-t)$	$\frac{1}{s + \alpha}$	$\text{Re}\{s\} < -\alpha$
$\frac{t^{n-1}}{(n-1)!} e^{-\alpha t} u(t)$	$\frac{1}{(s + \alpha)^n}$	$\text{Re}\{s\} > -\alpha$	$-\frac{t^{n-1}}{(n-1)!} e^{-\alpha t} u(-t)$	$\frac{1}{(s + \alpha)^n}$	$\text{Re}\{s\} < -\alpha$
$\delta(t)$	1	全部 s			

基本 z 变换对

信号	z 变换	ROC	信号	z 变换	ROC
$\delta[n]$	1	全部 z	$\delta[n - m]$	z^{-m}	全部 z , 除去 0 或 ∞
$u[n]$	$\frac{1}{1 - z^{-1}}$	$ z > 1$	$-u[-n - 1]$	$\frac{1}{1 - z^{-1}}$	$ z < 1$
$\alpha^n u[n]$	$\frac{1}{1 - \alpha z^{-1}}$	$ z > \alpha$	$-\alpha^n u[-n - 1]$	$\frac{1}{1 - \alpha z^{-1}}$	$ z < \alpha$
$n\alpha^n u[n]$	$\frac{\alpha z^{-1}}{(1 - \alpha z^{-1})^2}$	$ z > \alpha$	$-n\alpha^n u[-n - 1]$	$\frac{\alpha z^{-1}}{(1 - \alpha z^{-1})^2}$	$ z < \alpha$

10.7 利用Z变换分析与表征LTI系统

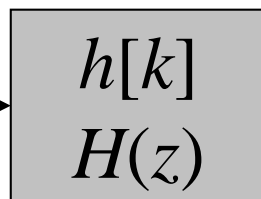
Analysis and Characterization of LTI Systems Using Z-Transforms

一.系统特性与 $H(z)$ 的关系:

LTI系统的特性可以由 $h(n)$ 或 $H(e^{j\omega})$ 描述，因而也可以由 $H(z)$ 连同ROC来表征。
 $H(z)$ 称为**系统函数**。系统的特性应该在系统函数中有所表现。根据卷积性质 $Y(z) = H(z)X(z)$
只要单位圆是在 $H(z)$ 的ROC内，将 $H(z)$ 在单位圆上求值（即 $z = e^{j\omega}$ ）， $H(z)$ 就变成系统的频率响应。

$x[k]$

$X(z)$



$y[k] = x[k] * h[k]$

$Y(z) = X(z)H(z)$

1. 因果性：如果LTI系统是因果的，则 $n < 0$ 时有 $h(n) = 0$ ，所以， $H(z)$ 的ROC是最外部极点的外部，并且包括 $|z| = \infty$ 。

2. 稳定性：若LTI系统稳定，则 $\sum_{n=-\infty}^{\infty} |h(n)| < \infty$ ，即 $h(n)$ 的DTFT存在，表明单位圆在 $H(z)$ 的ROC内。即 $H(z)$ 的ROC必包括单位圆。

因此，因果稳定的LTI系统其 $H(z)$ 的全部极点必须位于单位圆内，反之亦然。当 $H(z)$ 是关于 z 的有理函数时，因果性要求 $H(z)$ 的分子阶数不能高于分母阶数。

二. LTI系统的Z变换分析法：

分析步骤：

- 1) 由 $x(n)$ 求得 $X(z)$ 及其 ROC: R_1 。
 - 2) 由系统的描述求得 $H(z)$ 及其 ROC: R_2 。
 - 3) 由 $Y(z) = X(z)H(z)$ 得出 $Y(z)$ 并确定它的 ROC 包括 $R_1 \cap R_2$
 - 4) 对 $Y(z)$ 做反变换得到 $y(n)$ 。
-

例 已知一因果LTI系统的差分方程为 $y[n] - \frac{1}{2}y[n-1] + \frac{1}{4}y[n-2] = x[n]$
试确定系统的系统函数。若 $x[n] = \left(\frac{1}{2}\right)^n u[n]$
，用z变换确定上述系统的输出 $y[n]$

$$Y(z) - \frac{1}{2}z^{-1}Y(z) + \frac{1}{4}z^{-2}Y(z) = X(z)$$

$$H(z) = \frac{Y(z)}{X(z)} = \frac{1}{(1 - \frac{1}{2}z^{-1} + \frac{1}{4}z^{-2})} = \frac{1}{\left[1 - \left(\frac{1}{4} - j\frac{\sqrt{3}}{4}\right)z^{-1}\right]\left[1 - \left(\frac{1}{4} + j\frac{\sqrt{3}}{4}\right)z^{-1}\right]}$$

极点为 $\frac{1}{4} \pm j\frac{\sqrt{3}}{4}$ ，收敛域为 $|z| > \left|\frac{1}{4} \pm j\frac{\sqrt{3}}{4}\right| = \frac{1}{2}$

$$X(z) = \frac{1}{1 - \frac{1}{2}z^{-1}}, |z| > \frac{1}{2}$$

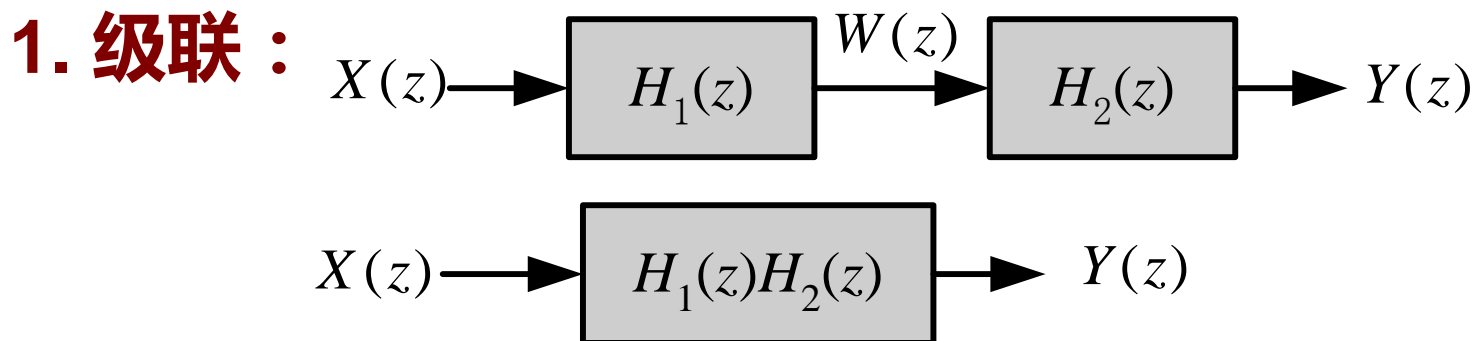
$$\begin{aligned}
 Y(z) &= X(z)H(z) = \frac{1}{\left[1 - \left(\frac{1}{4} - j\sqrt{3}/4\right)z^{-1}\right]\left[1 - \left(\frac{1}{4} + j\sqrt{3}/4\right)z^{-1}\right]\left[1 - \frac{1}{2}z^{-1}\right]} \\
 &= \frac{-j\left(1/\sqrt{3}\right)}{\left[1 - \left(\frac{1}{4} - j\sqrt{3}/4\right)z^{-1}\right]} + \frac{j\left(1/\sqrt{3}\right)}{\left[1 - \left(\frac{1}{4} + j\sqrt{3}/4\right)z^{-1}\right]} + \frac{1}{1 - \frac{1}{2}z^{-1}}
 \end{aligned}$$

$$\begin{aligned}
 y[n] &= -j\left(1/\sqrt{3}\right)\left(\frac{1}{4} - j\sqrt{3}/4\right)^n u[n] + j\left(1/\sqrt{3}\right)\left(\frac{1}{4} + j\sqrt{3}/4\right)^n u[n] + \left(\frac{1}{2}\right)^n u[n] \\
 &= \left(\frac{1}{2}\right)^n \left[\frac{2}{\sqrt{3}} \sin\left(\frac{n\pi}{3}\right) + 1 \right] u[n]
 \end{aligned}$$

10.8 系统函数的代数属性与方框图表示

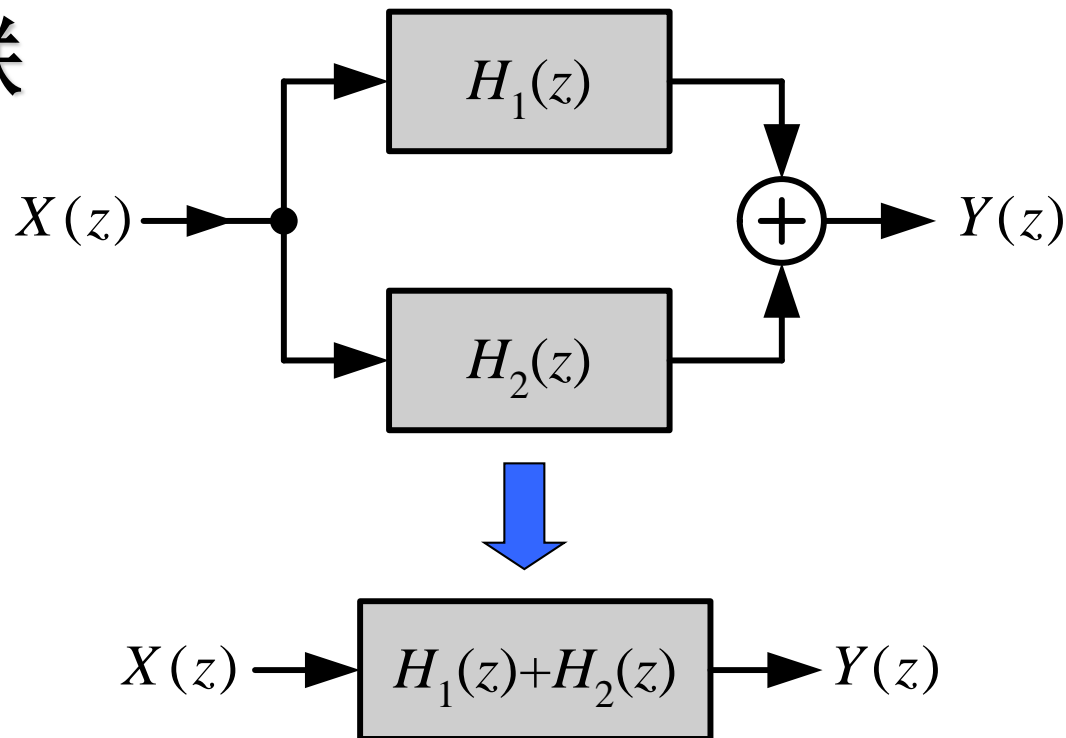
System Function Algebra and Block Diagram Representations

一. 系统互联的系统函数:



$$Y(z) = H_2(z)W(z) = H_2(z)H_1(z)X(z)$$

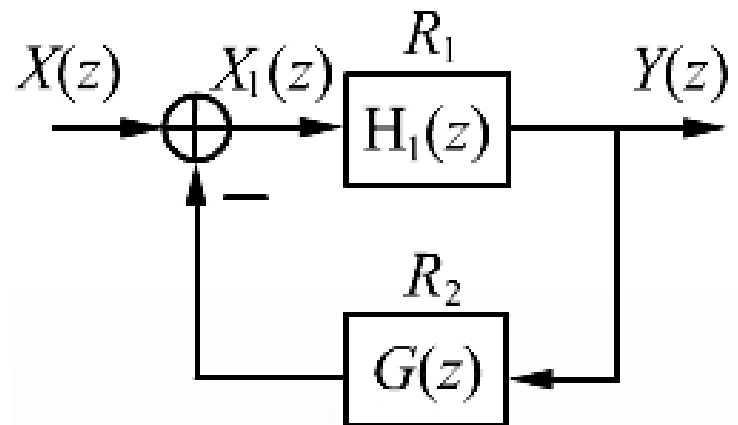
2. 系统的并联



$$Y(z) = H_1(z)X(z) + H_2(z)X(z) = [H_1(z) + H_2(z)]X(z)$$

3. 反馈联接：

由系统框图可
列出如下方程：



$$X_1(z) = X(z) - Y(z)G(z)$$

$$Y(z) = X_1(z)H_1(z)$$

$$= X(z)H_1(z) - Y(z)H_1(z)G(z)$$

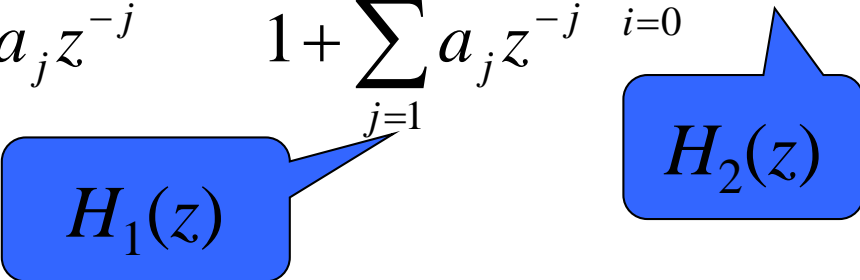
$$H(z) = \frac{H_1(z)}{1 + H_1(z)G(z)}$$

ROC：包括 $R_1 \cap R_2$

直接型结构

设差分方程中的 $m=n$ ，即

$$y[k] + \sum_{j=1}^n a_j y[k-j] = \sum_{i=0}^n b_i x[k-i]$$

$$H(z) = \frac{\sum_{i=0}^n b_i z^{-i}}{1 + \sum_{j=1}^n a_j z^{-j}} = \frac{1}{1 + \sum_{j=1}^n a_j z^{-j}} \cdot \sum_{i=0}^n b_i z^{-i}$$


$H_1(z)$

$H_2(z)$

直接型结构

系统可以看成两个子系统的级联

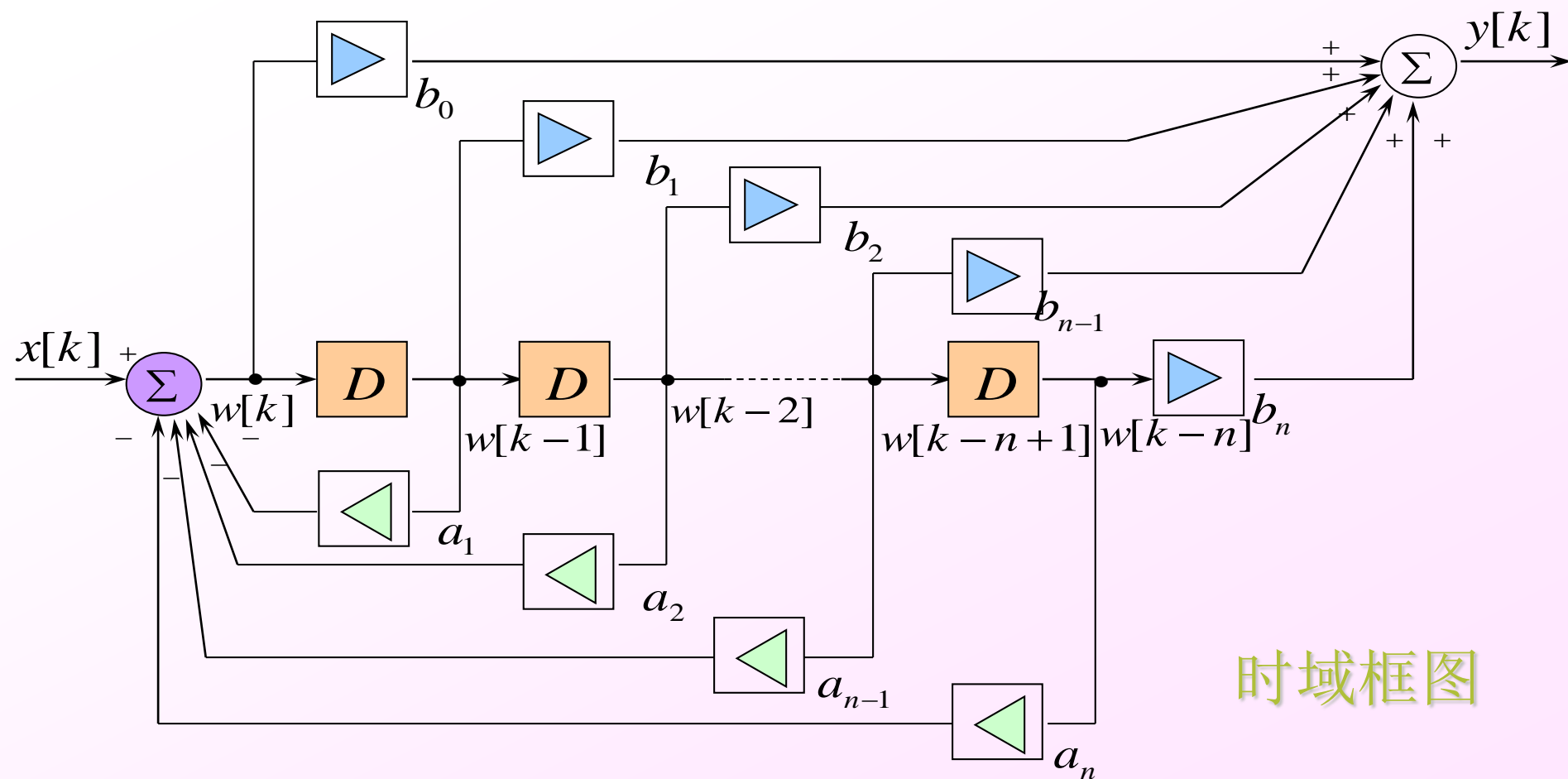
$$H_1(z) = \frac{1}{1 + \sum_{j=1}^n a_j z^{-j}} = \frac{W(z)}{X(z)} \quad H_2(z) = \sum_{i=0}^n b_i z^{-i} = \frac{Y(z)}{W(z)}$$

描述这两个系统的差分方程为

$$w[k] + \sum_{j=1}^n a_j w[k-j] = x[k]$$

$$y[k] = \sum_{i=0}^n b_i w[k-i]$$

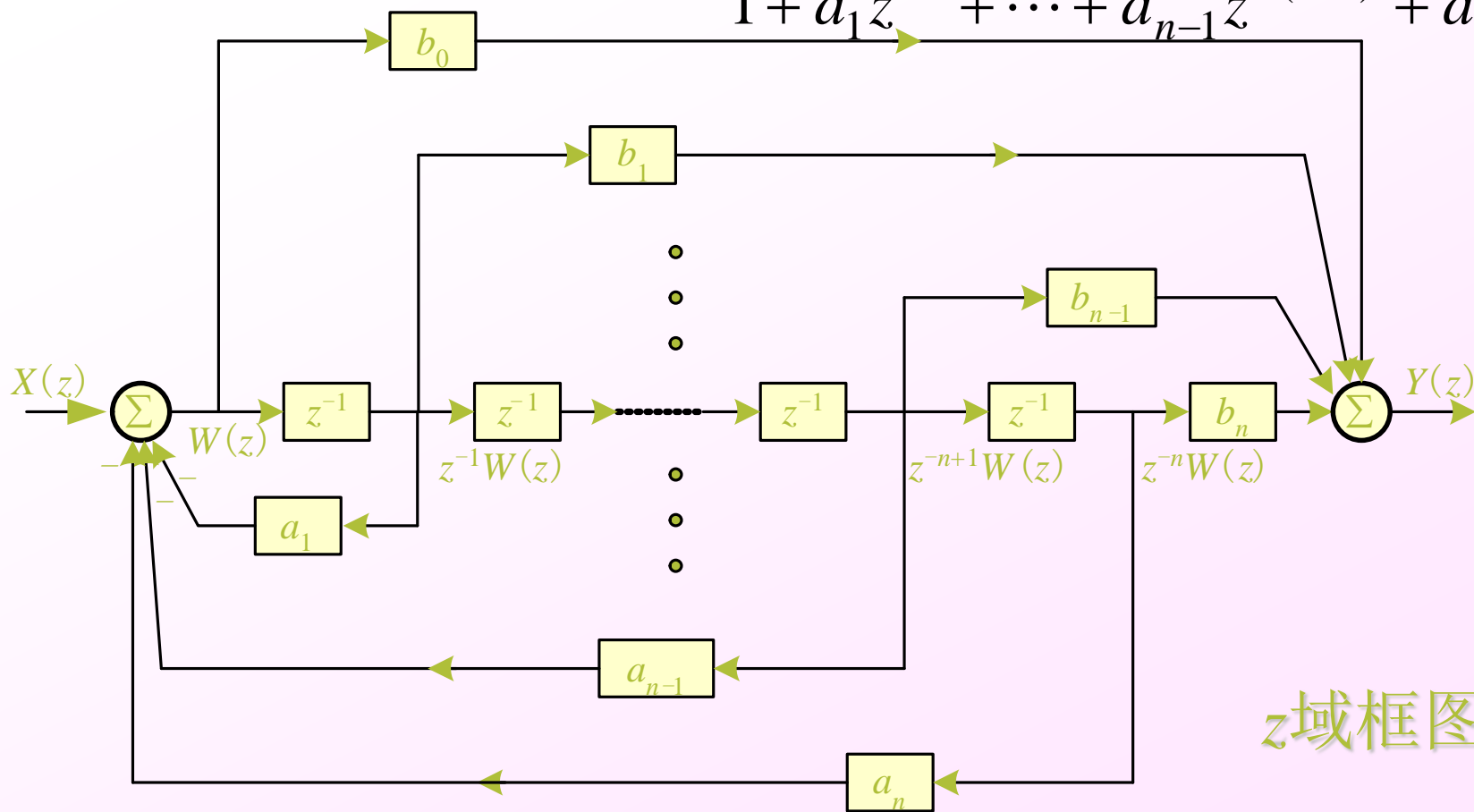
直接型结构



时域框图

直接型结构

$$H(z) = \frac{b_0 + b_1 z^{-1} + \cdots + b_{n-1} z^{-(n-1)} + b_n z^{-n}}{1 + a_1 z^{-1} + \cdots + a_{n-1} z^{-(n-1)} + a_n z^{-n}}$$

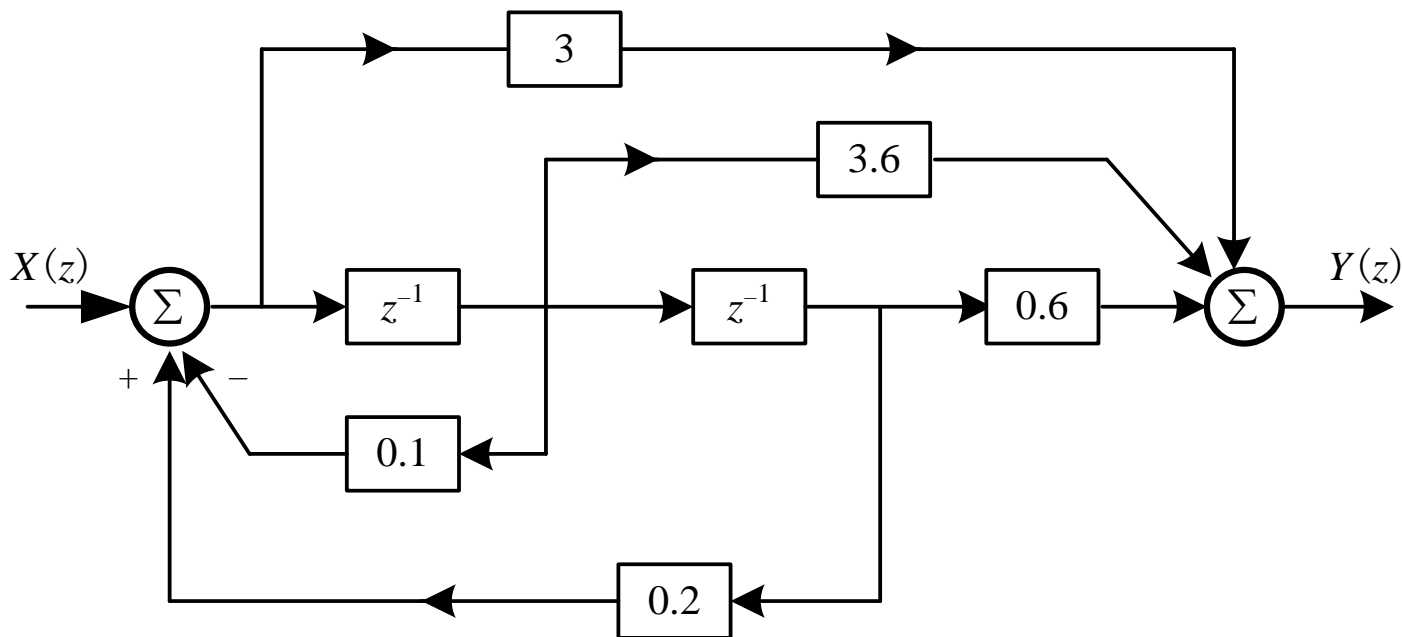


z 域框图

例：已知 $H(z) = \frac{3 + 3.6z^{-1} + 0.6z^{-2}}{1 + 0.1z^{-1} - 0.2z^{-2}}$

试画出其直接型，级联型和并联型的模拟框图。

解： 1) 直接型

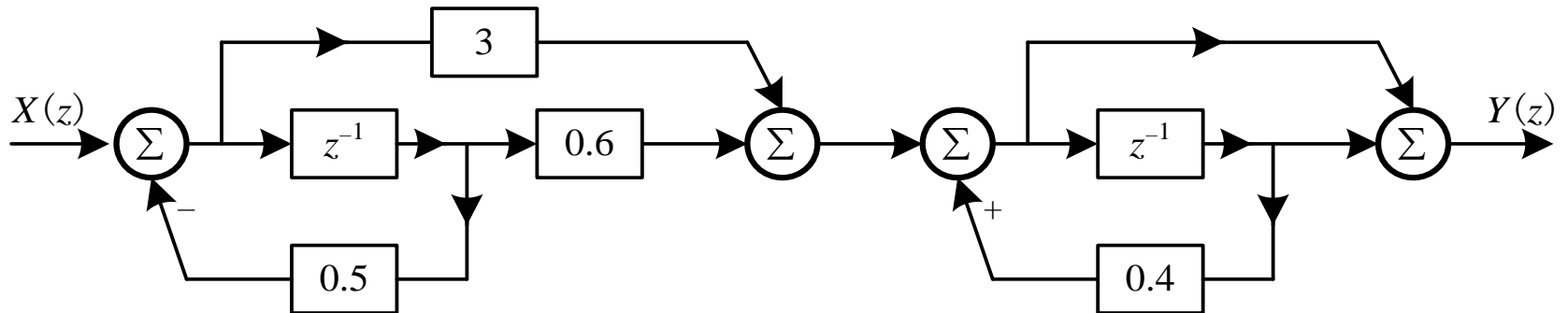


例：已知 $H(z) = \frac{3 + 3.6z^{-1} + 0.6z^{-2}}{1 + 0.1z^{-1} - 0.2z^{-2}}$

试画出其直接型，级联型和并联型的模拟框图。

解： 2) 级联型

$$H(z) = \frac{3 + 0.6z^{-1}}{1 + 0.5z^{-1}} \bullet \frac{1 + z^{-1}}{1 - 0.4z^{-1}}$$

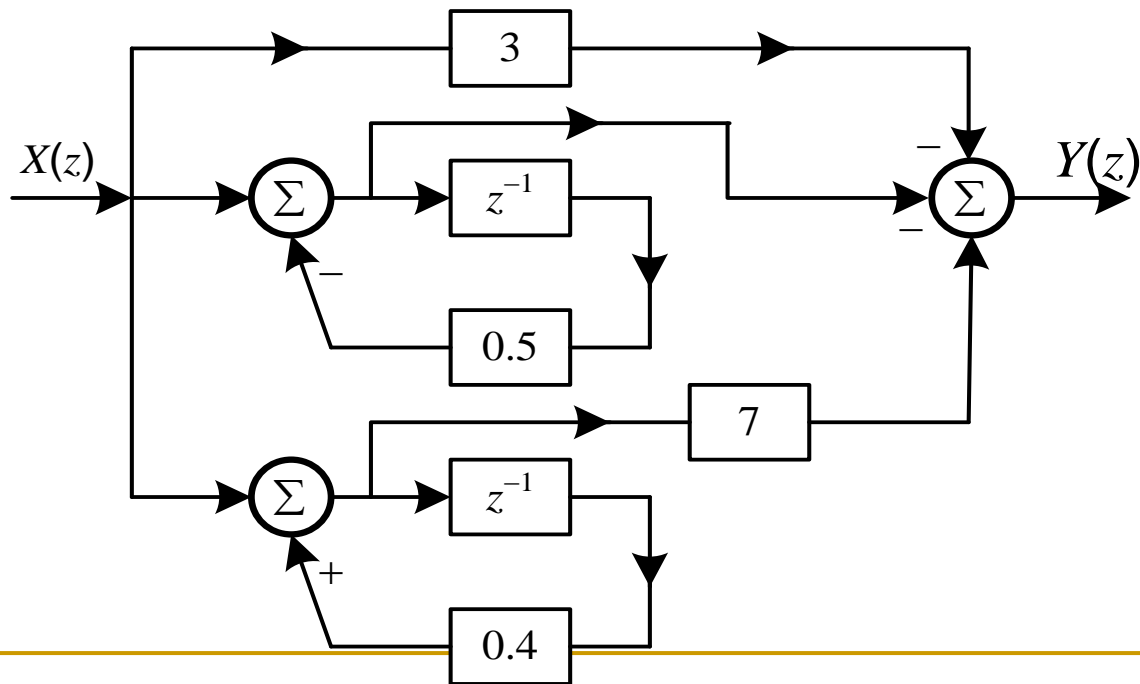


例：已知 $H(z) = \frac{3 + 3.6z^{-1} + 0.6z^{-2}}{1 + 0.1z^{-1} - 0.2z^{-2}}$

试画出其直接型，级联型和并联型的模拟框图。

解： 3) 并联型

$$H(z) = 3 + \frac{0.5z^{-1}}{1 + 0.5z^{-1}} + \frac{2.8z^{-1}}{1 - 0.4z^{-1}}$$

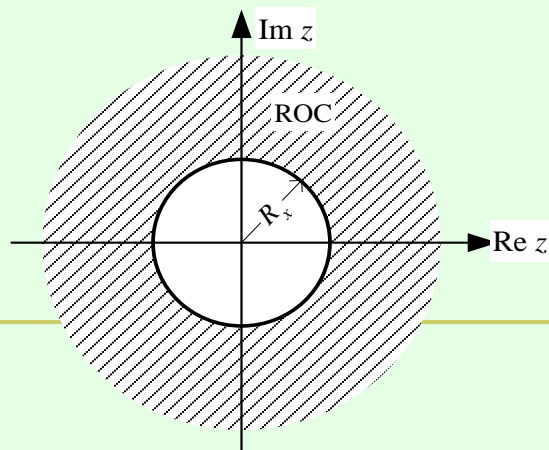


10.9 单边Z变换：The Unilateral Z-Transform

一. 单边Z变换：

$$\chi(z) = \sum_{n=0}^{\infty} x(n) z^{-n}$$

单边Z变换是双边Z变换的特例，也就是因果信号的双边Z变换。因此单边Z变换 $\chi(z)$ 的ROC一定是最外部极点的外部，并且包括 $|z| = \infty$ 。



所以在讨论单边Z变换时,不再强调其ROC。

它的反变换也一定与双边Z变换的反变换一致。

$$x[n] = \frac{1}{2\pi j} \oint X(z) z^{n-1} dz$$

如果信号 $x(n)$ 不是因果序列，则其双边Z变换 $X(z)$ 与单边Z变换 $\chi(z)$ 不同。

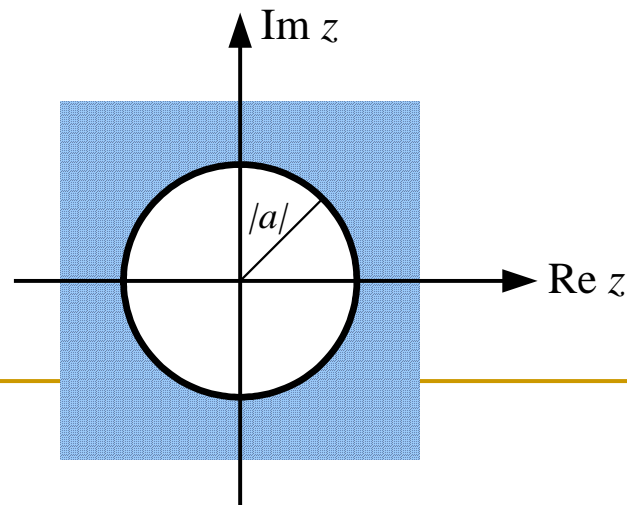
例1: $x(n) = a^n u(n)$

对其做双边Z变换有：

$$X(z) = \frac{1}{1 - az^{-1}} \quad |z| > |a|$$

对其做单边Z变换有：

$$\chi(z) = \frac{1}{1 - az^{-1}} \quad |z| > |a| \quad \text{显然} \quad \chi(z) = X(z)$$



例2. $x(n) = a^{n+1}u(n+1)$

对其做双边Z变换有： $X(z) = \frac{z}{1 - az^{-1}} \quad |z| > |a|$

对其做单边Z变换有：

$$\chi(z) = \sum_{n=0}^{\infty} a^{n+1} z^{-n} = \frac{a}{1 - az^{-1}} \quad |z| > |a|$$

显然 $\chi(z) \neq X(z)$

这是因为 $x(n)$ 在 $n < 0$ 的部分对双边Z变换起作用，而对单边Z变换不起作用所致。

二. 单边Z变换的性质：

只要所涉及的信号是因果信号，单边Z变换除了时移特性与双边Z变换略显不同外，其它性质与双边Z变换的情况是一致的。

$$x[k] \xleftrightarrow{z} X(z), |z| > R_x$$

$$x_1[k] \xleftrightarrow{z} X_1(z), |z| > R_{x1} \quad x_2[k] \xleftrightarrow{z} X_2(z), |z| > R_{x2}$$

2. 位移特性

➤ 因果序列的位移

$$x[k-n] \leftrightarrow z^{-n}X(z) \quad |z| > R_x$$

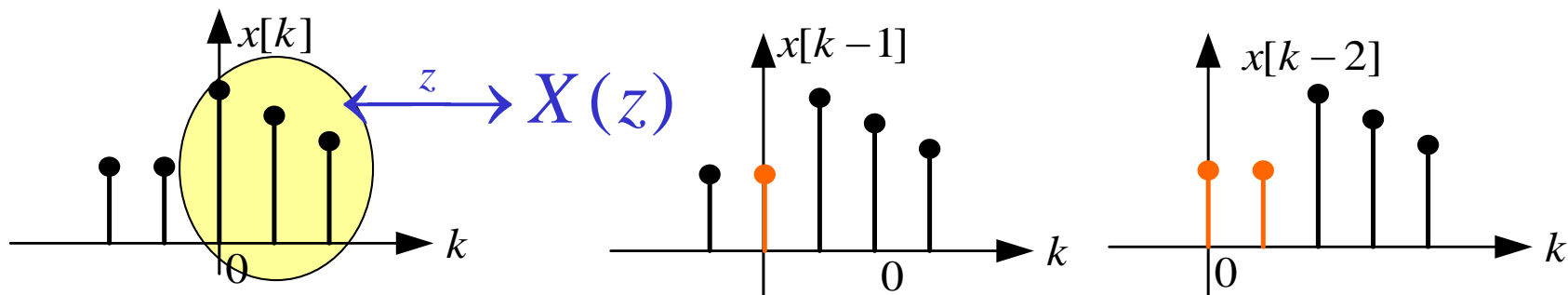
➤ 非因果序列的位移

$$Z\{x[k+n]u[k]\} = z^n \left[X(z) - \sum_{k=0}^{n-1} x[k]z^{-k} \right] \quad |z| > R_x$$

$$Z\{x[k-n]u[k]\} = z^{-n} \left[X(z) + \sum_{k=-n}^{-1} x[k]z^{-k} \right] \quad |z| > R_x$$

2. 位移特性

证明
$$Z\{x[k-n]u[k]\} = z^{-n}[X(z) + \sum_{k=-n}^{-1} x[k]z^{-k}]$$



$$Z\{x[k-1]u[k]\} = z^{-1}X(z) + x[-1]$$

$$\begin{aligned} Z\{x[k-2]u[k]\} &= z^{-1}Z\{x[k-1]u[k]\} + x[-2] \\ &= z^{-2}X(z) + z^{-1}x[-1] + x[-2] \end{aligned}$$

依此类推 可证上式成立

单边Z变换在将LCCDE变换为代数方程时，可以自动将方程的初始条件引入，因而在解决增量线性系统问题时特别有用。

三. 利用单边Z变换分析增量线性系统：

$$y(n) + 3y(n-1) = x(n),$$

$$x(n) = u(n), \quad y(-1) = 1$$

则 $\tilde{Y}(z) + 3[z^{-1}\tilde{Y}(z) + y(-1)] = \chi(z) = \frac{1}{1 - z^{-1}}$

$$H(z) = \frac{1}{1 + 3z^{-1}}$$

$$\begin{aligned}\tilde{Y}(z) &= \frac{1}{1+3z^{-1}} [\chi(z) - 3] \\ &= \underbrace{\frac{\chi(z)}{1+3z^{-1}}}_{\text{零状态响应}} + \underbrace{\frac{-3}{1+3z^{-1}}}_{\text{零输入响应}} = H(z)\chi(z) + \underbrace{\frac{-3}{1+3z^{-1}}}_{\text{零输入响应}}\end{aligned}$$

$$= \frac{1/4}{1-z^{-1}} - \frac{9/4}{1+3z^{-1}}$$

$$\begin{aligned}\therefore y(n) &= \left[\frac{1}{4} - \frac{9}{4}(-3)^n \right] u(n) = \frac{1}{4} [1 - 9(-3)^n] u(n) \\ &= \frac{1}{4} [1 - (-3)^{n+2}] u(n)\end{aligned}$$

强迫响应

自然响应

10.10 小结：Summary

1. 讨论了对离散时间信号和系统进行Z变换分析的方法，整个讨论方法及大部分结论与第九章相对应。
2. 与拉氏变换的情况对照，可以发现S平面与Z平面之间存在着一种映射关系， $z = e^{sT}$ 就是这种映射关系。

将连续时间信号 $x_c(t)$ 采样，可以得到：

$$x_p(t) = \sum_{n=-\infty}^{\infty} x_c(nT)\delta(t-nT)$$

对其做拉氏变换有： $X_p(s) = \sum_{n=-\infty}^{\infty} x_c(nT)e^{-snT}$

对采样所得到的样本序列 $x(n) = x_c(nT)$ 做Z变换有：

$$x(n) \leftrightarrow X(z) = \sum_{n=-\infty}^{\infty} x_c(nT)z^{-n}$$

比较两式，可以得出S平面与Z平面之间有：

$$z = e^{sT} \quad \text{—— S平面与Z平面之间的映射关系}$$

$$\because z = re^{j\omega}, s = \sigma + j\Omega \quad \therefore r = e^{\sigma T}, \omega = \Omega T$$

映射过程：

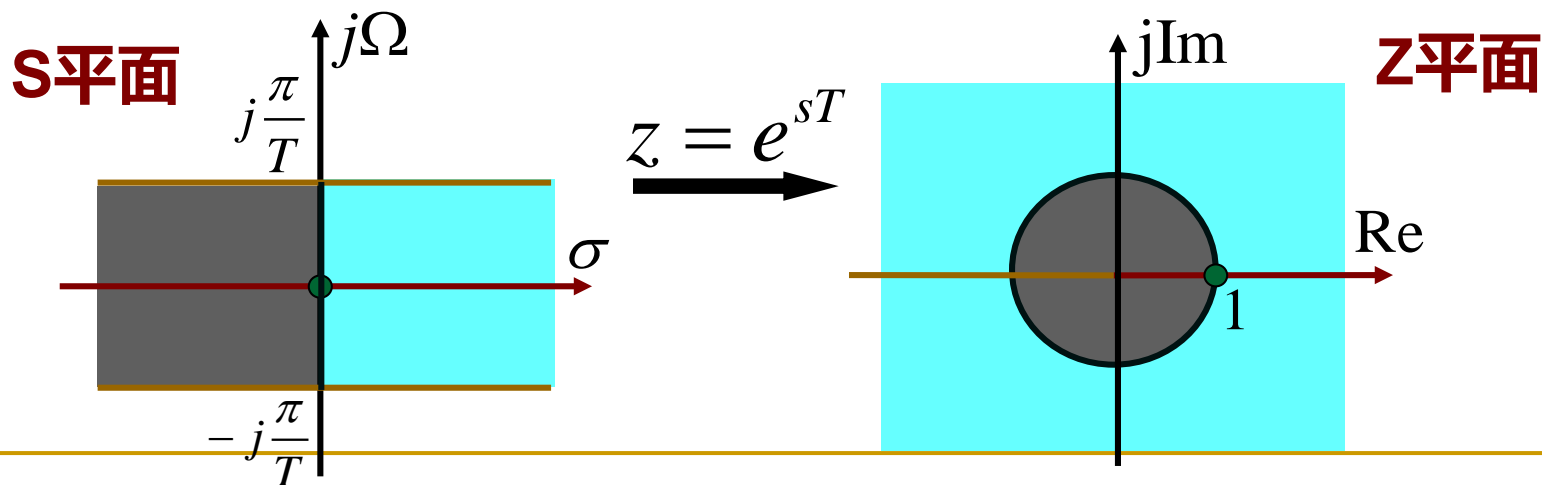
$$\sigma < 0, \quad r < 1$$

$$\sigma > 0, \quad r > 1$$

$$\sigma = 0, \quad r = 1$$

$$-\pi \leq \omega \leq \pi, \quad -\frac{\pi}{T} \leq \Omega \leq \frac{\pi}{T}$$

$$\omega = 0, \quad \Omega = 0$$



这种映射关系在数字信号处理，特别是数字系统设计中是非常重要的。明确了这种关系就很容易对 Z 变换与拉氏变换的关系及差异之处有更清楚的认识。

3. 利用 Z 变换分析LTI系统，较之DTFT具有更方便、更广泛适用的优点。

4. 单边 Z 变换是分析增量线性系统的有力工具。
